

ALMA 電波干渉計による ガンマ線超新星残骸 RX J1713.7–3946 北西部の観測

佐野 栄俊 (国立天文台)

共同研究者: 井上剛志, 徳田一起, 田中孝明, 山崎了, 犬塚修一郎, F. Aharonian, G. Rowell, M. D. Filipovic, 山根悠望子, 吉池智史, N. Maxted, 内田裕之, 早川貴敬, 立原研悟, 内山泰伸, 福井康雄

web URL



Sano, Inoue, Tokuda et al. 2020c, ApJ Letters, 904, 24

ALMA CO Observations of the Gamma-Ray Supernova Remnant RX J1713.7-3946:
Discovery of Shocked Molecular Cloudlets and Filaments at 0.01 pc scales

XMM-Newton 1–5 keV (Credit: H. Sano)



本講演のポイント

■ 超新星残骸衝撃波における粒子加速

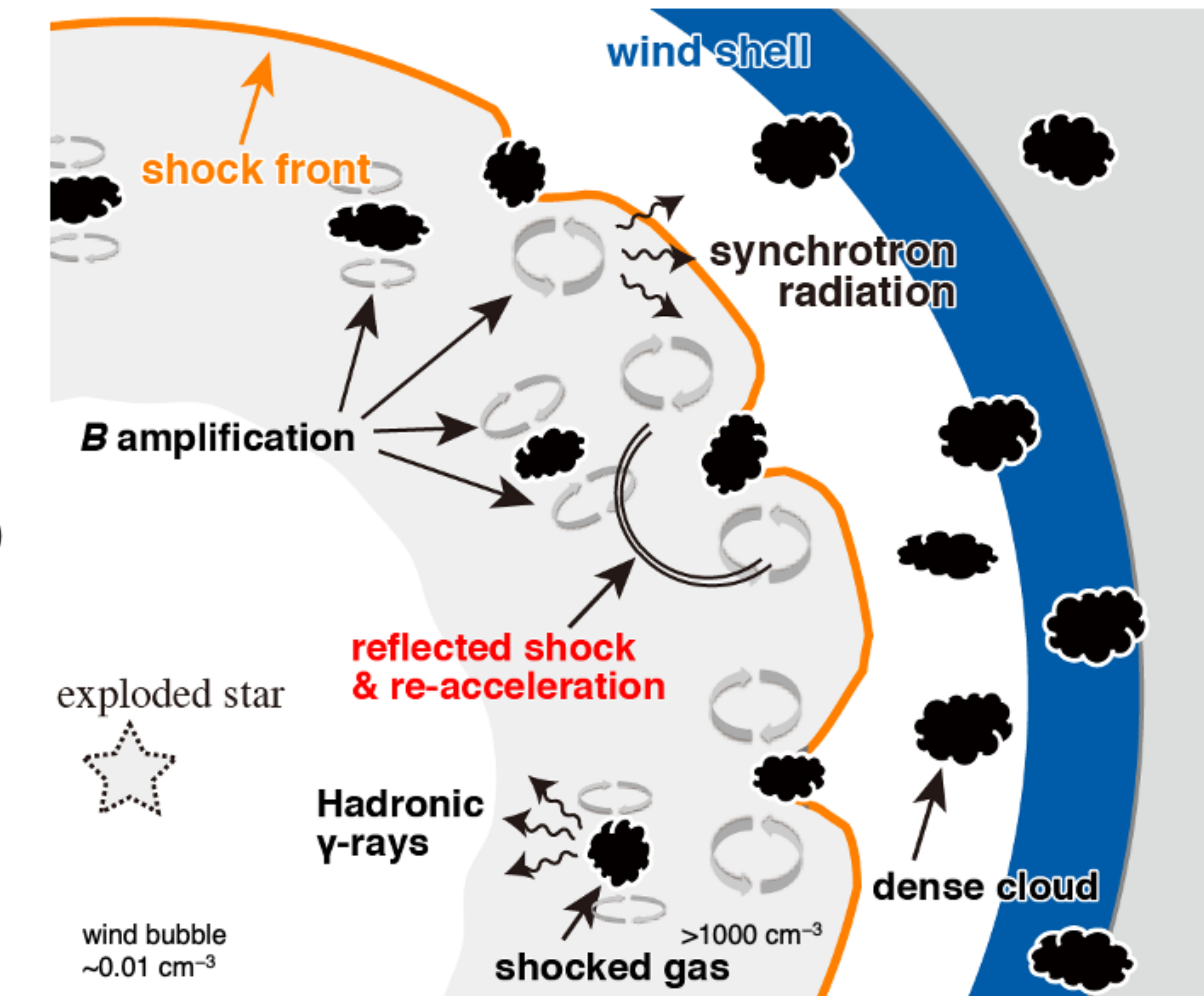
- 理想: 一様な媒質中の衝撃波伝搬+加速
- 現実: 星間媒質は高度に非一様 ($\sim 10^5$)
→ 観測/定量して理論計算へフィードバック

■ ALMA電波干渉計によるCO輝線観測

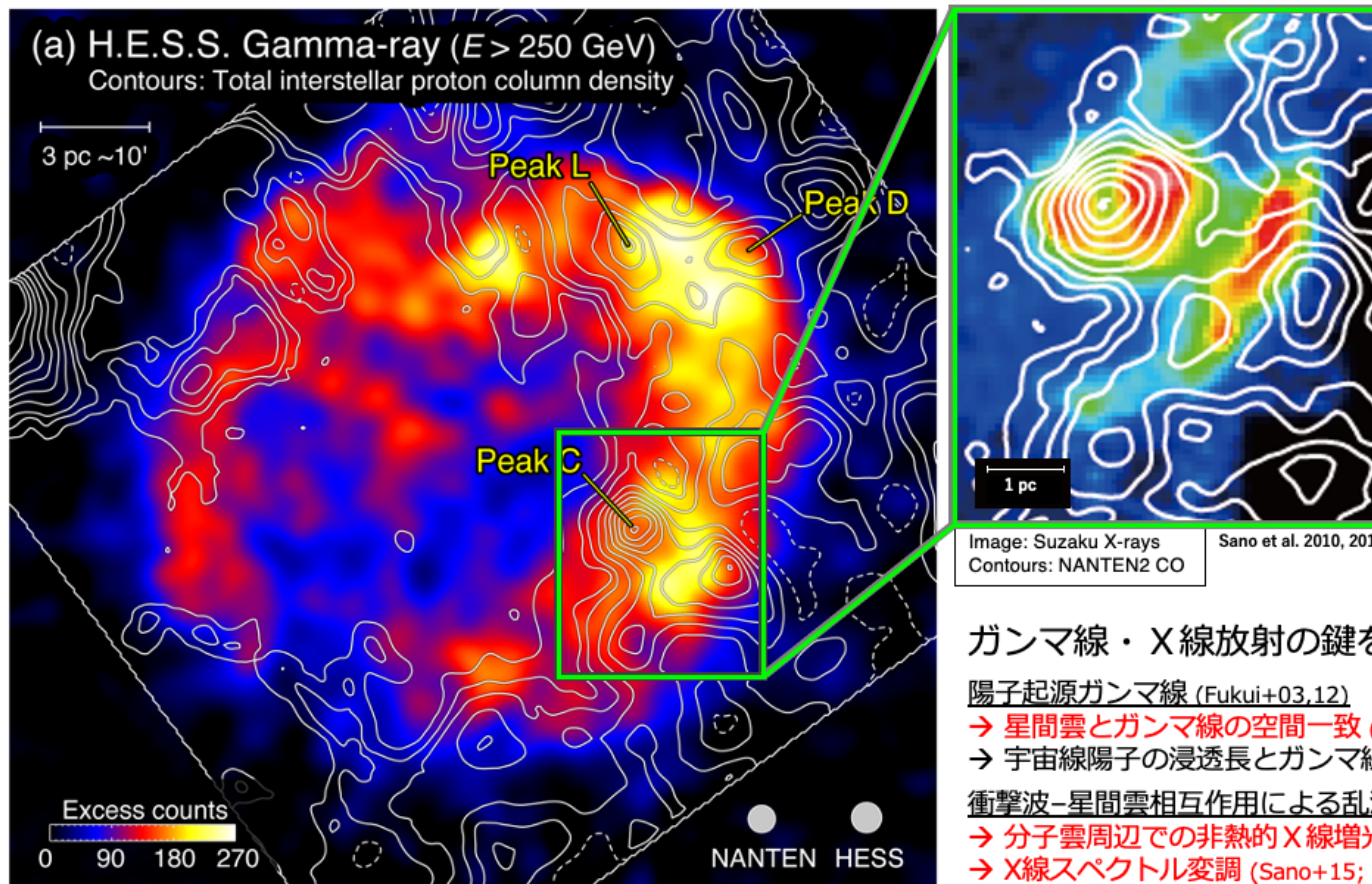
- RX J1713 北西部 (分解能 ~ 0.02 pc)
- 希薄な星間空間中 ($\sim 0.1 \text{ cm}^{-3}$) に、
数十の粒状分子雲 ($\sim 0.01 \text{ pc}, \sim 10^4 \text{ cm}^{-3}$)
- 分子雲周辺で非熱的X線増光+強度時間変動
→ 衝撃波-星間雲相互作用による磁場增幅
→ ガンマ線/X線のスペクトル変調

■ 今後の展望

- 電波干渉計を用いた超新星残骸研究の促進
- 陽子/電子起源ガンマ線分離の新しい試み
(Fukui, Sano et al. in preparation)



衝撃波-星間雲相互作用モデル (Inoue et al. 2012, ApJ, 744, 71, 一部改訂)



RX J1713.7–3946

- Age: ~1,600 yr
- Distance: ~1 kpc
- Size: ~18 pc
- Core-collapse SNR
- Associated with MCs
(resolution up to ~0.3 pc, ~90'')

ガンマ線・X線放射の鍵を握る「粒状」の星間雲

陽子起源ガンマ線 (Fukui+03,12)

→ 星間雲とガンマ線の空間一致 (Fukui+03,12)

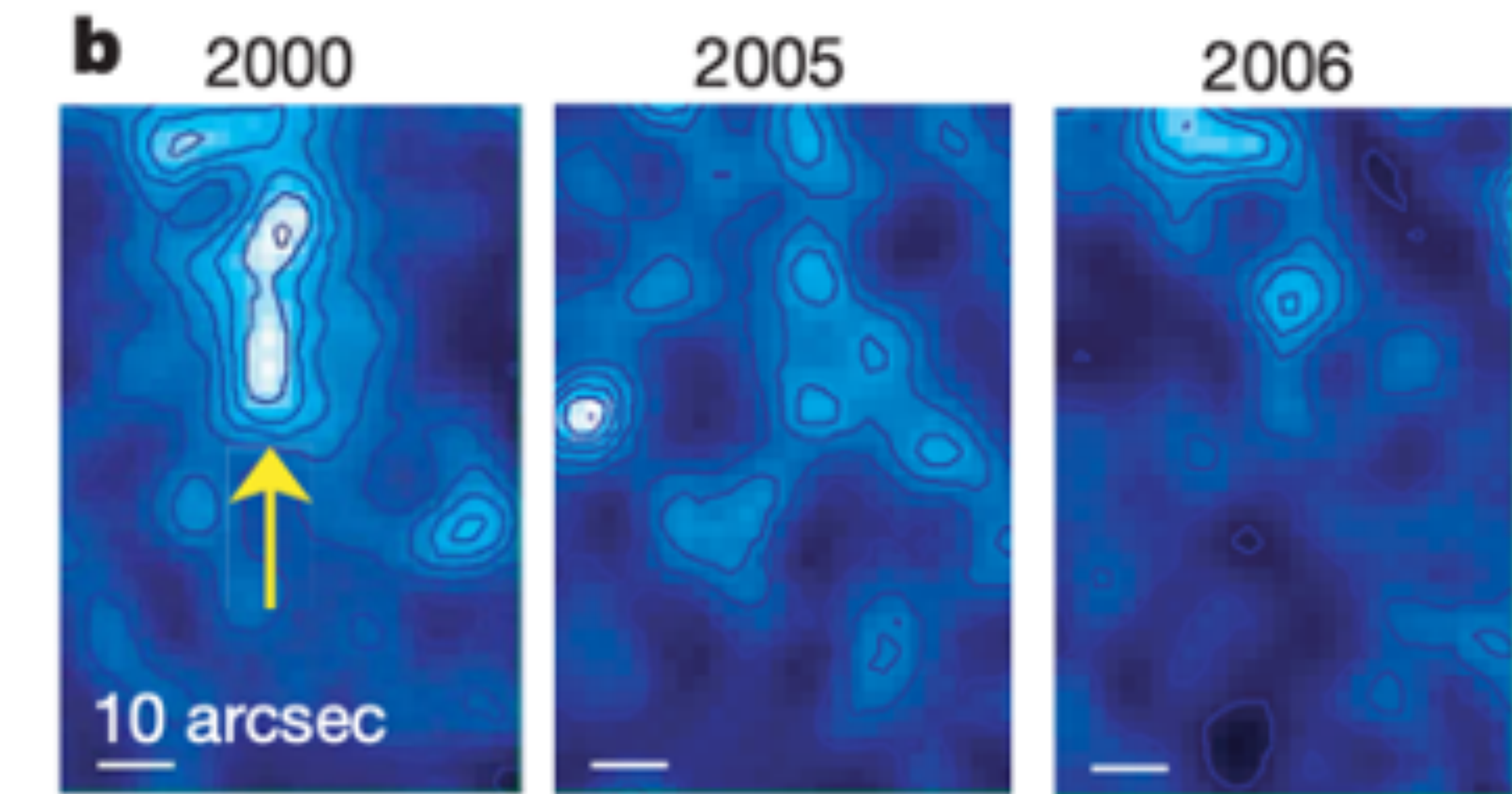
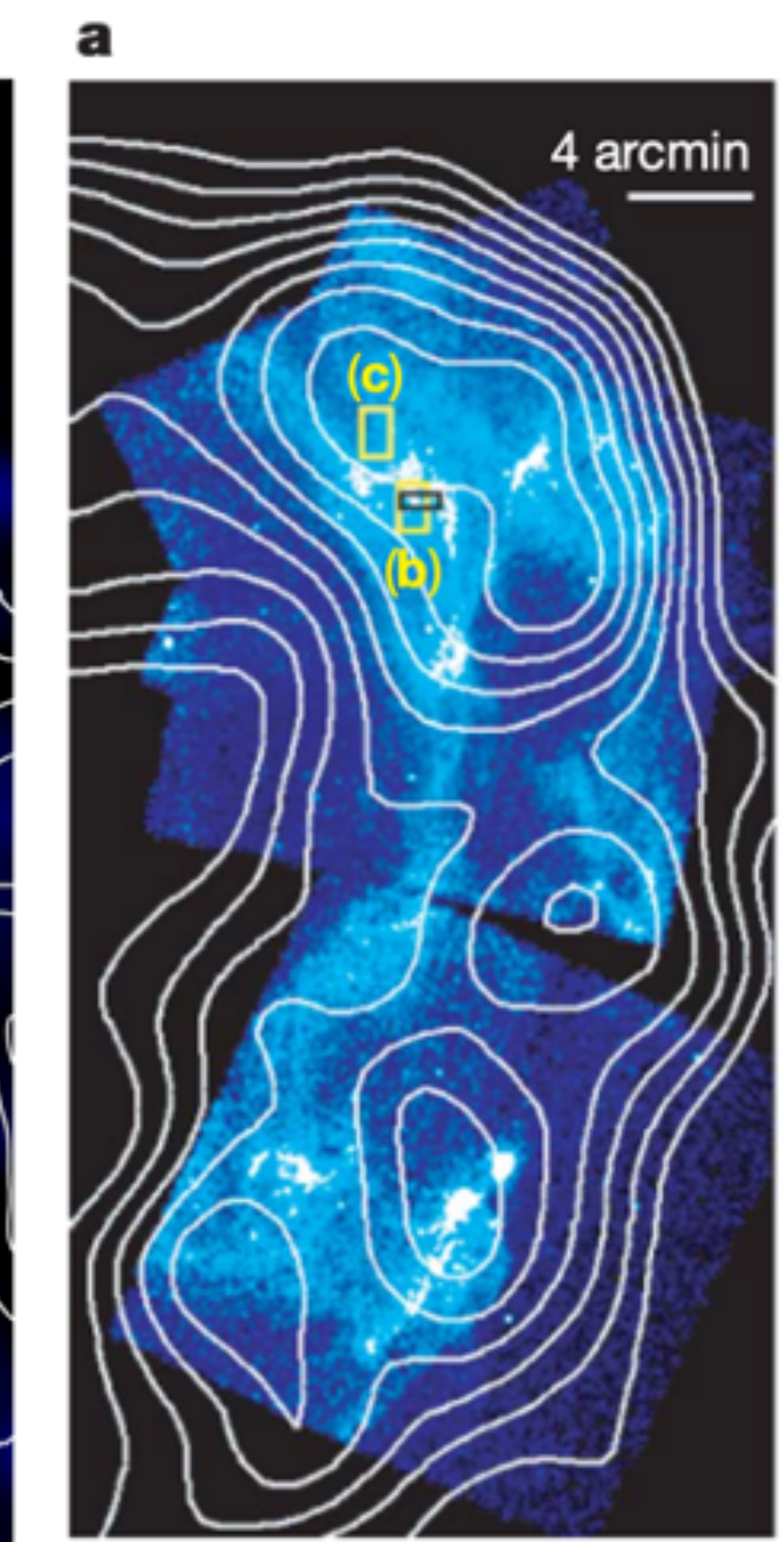
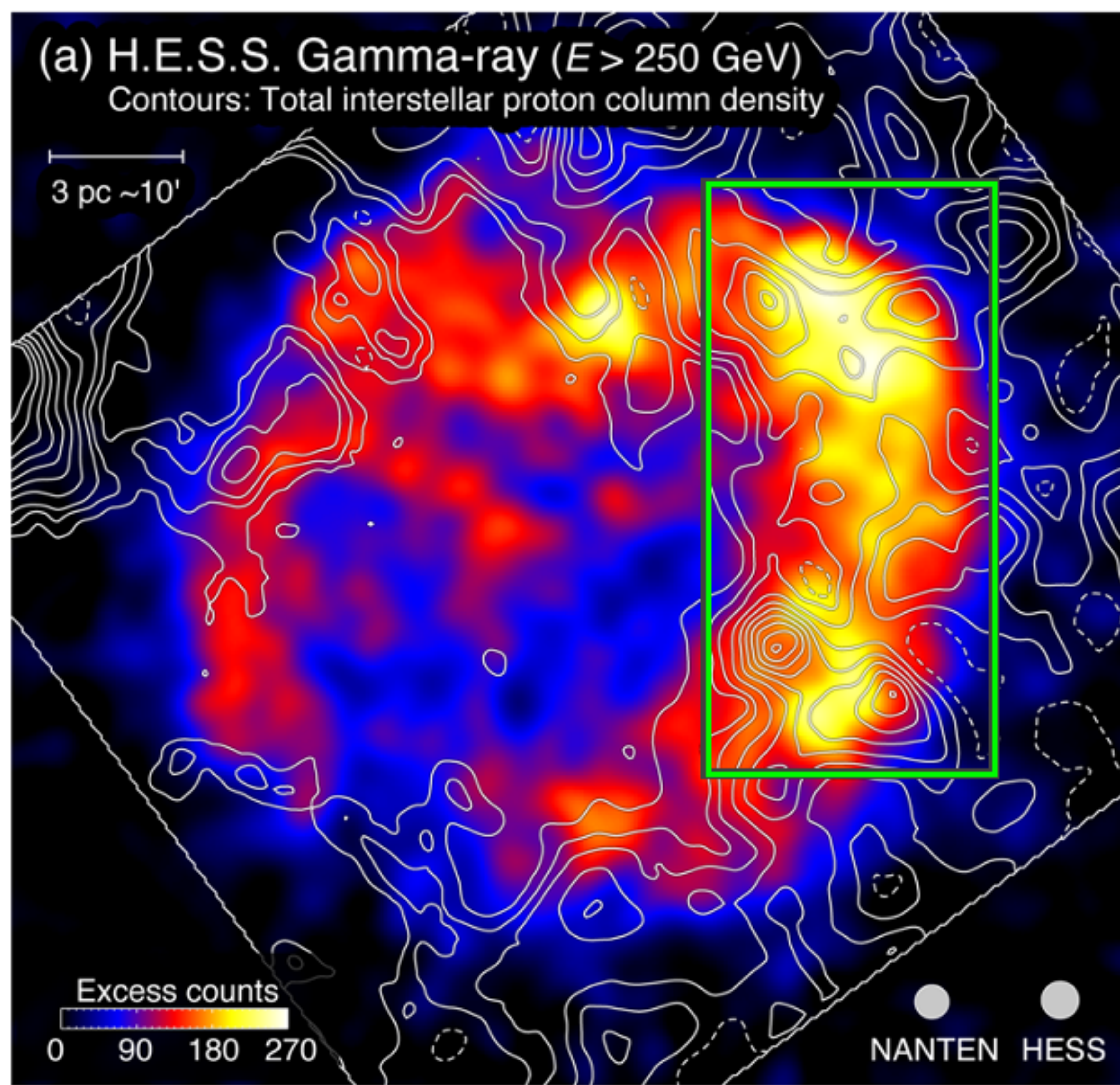
→ 宇宙線陽子の浸透長とガンマ線スペクトル変調 (e.g., Inoue+12,19)

衝撃波-星間雲相互作用による乱流磁場の増幅 (e.g., Inoue+09,12,19)

→ 分子雲周辺での非熱的X線増光 (Sano+10,13; Okon+18; Tanaka+20)

→ X線スペクトル変調 (Sano+15; Tanaka+20) + 熱的X線抑制 (Inoue+12)

→ 月/年単位で強度変動するX線hot spot (Uchiyama+07; Higurashi+20)



□ Cooling time scale

$$t_{\text{synch}} \sim 1.5(B/1\text{mG})^{-1.5}(\varepsilon/1\text{keV})^{-0.5} \text{ yr}$$

□ Acceleration time scale

$$t_{\text{acc}} \sim 1\eta(\varepsilon/1\text{keV})^{-0.5}(B/1\text{mG})^{-1.5} \left(V_{\text{sh}}/3000\text{km s}^{-1}\right)^{-2} \text{ yr}$$

Uchiyama+07

0.05 pc (10秒角) スケールで $B \sim 1$ mG

→ 衝撃波-星間雲相互作用が正しければ
対応する 小さな分子雲 が存在する?

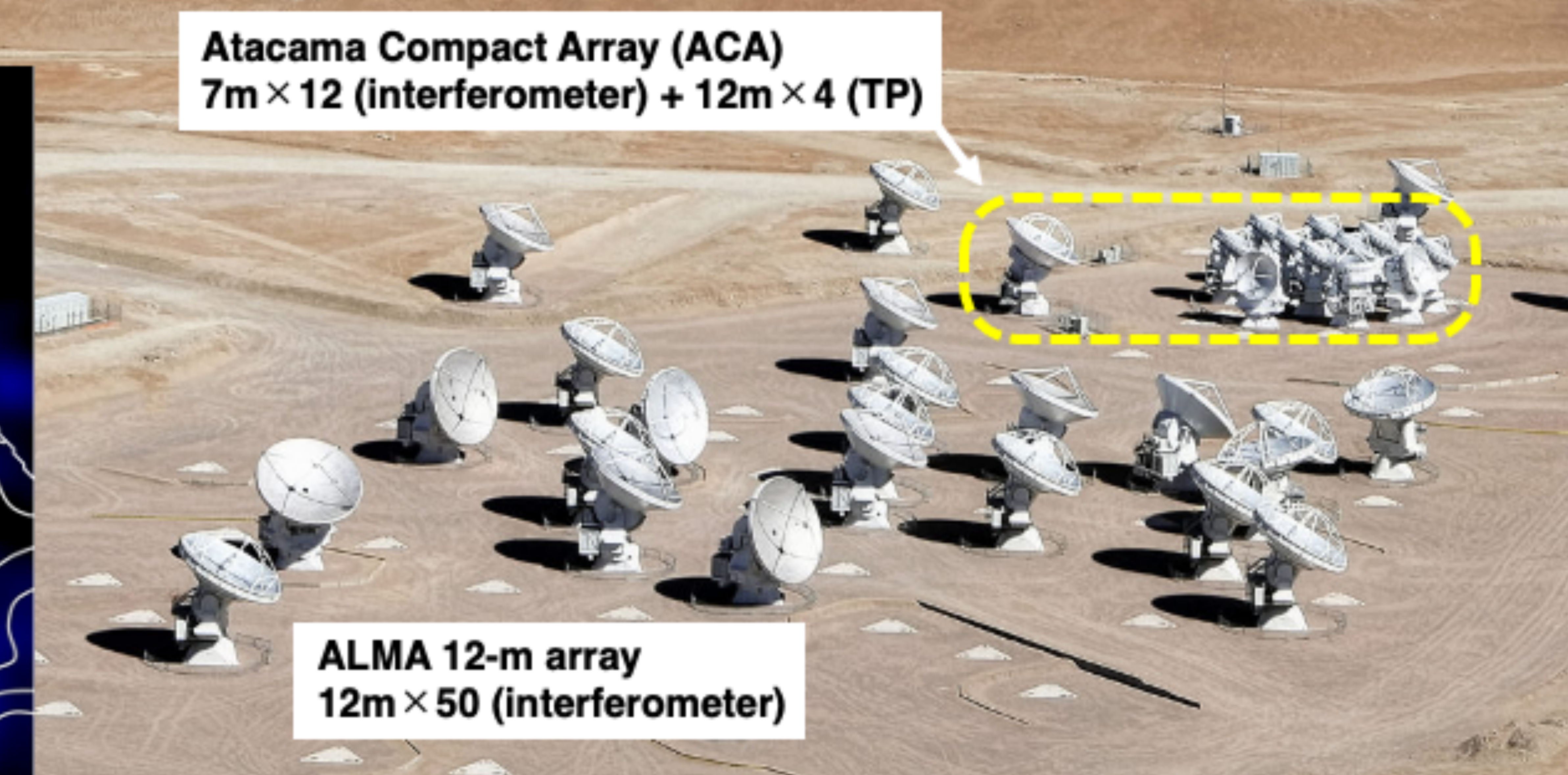
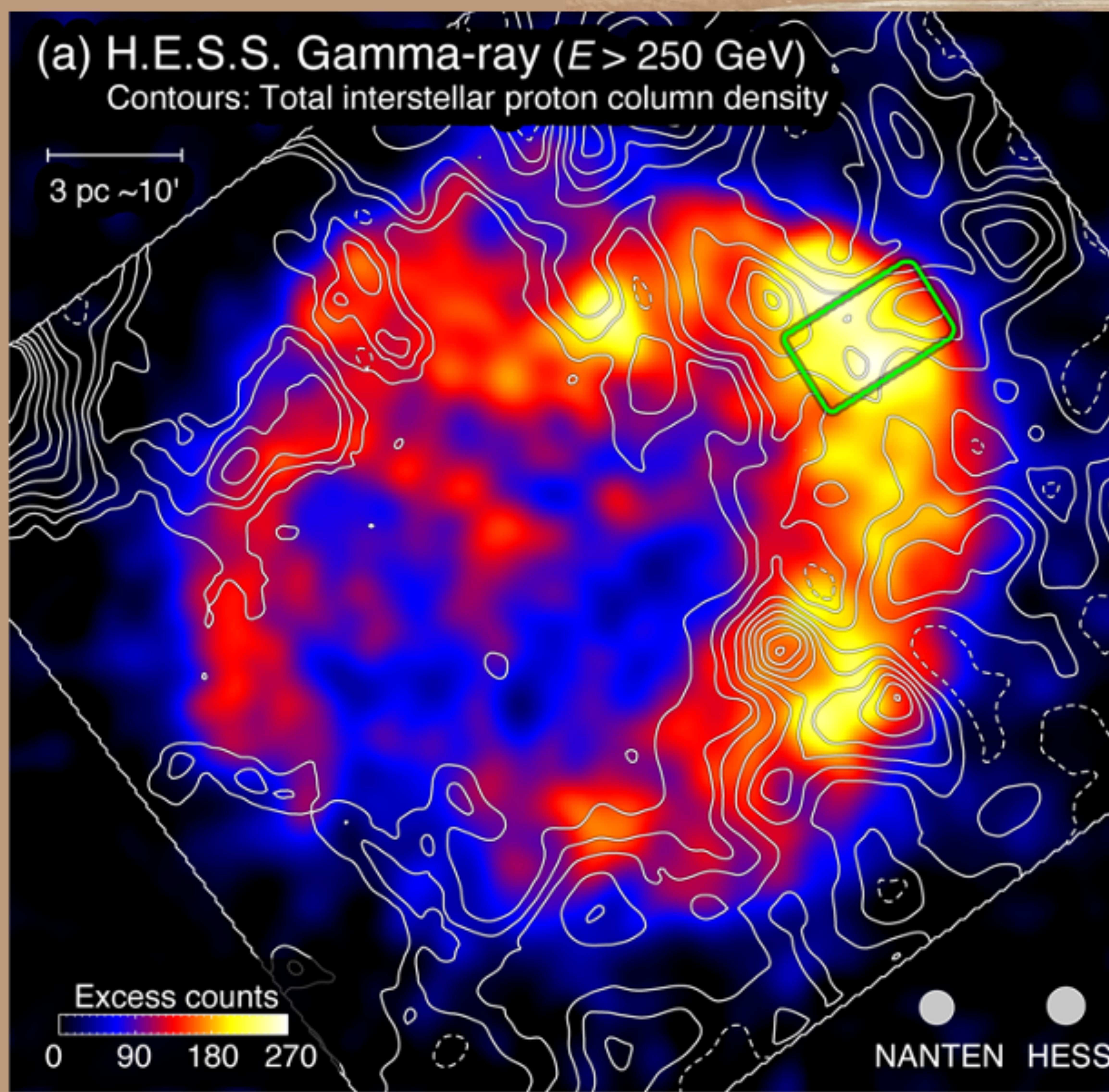
衝撃波-星間雲相互作用による乱流磁場の増幅 (e.g., Inoue+09, 12, 19)

→ 分子雲周辺での非熱的X線増光 (Sano+10, 13; Okon+18; Tanaka+20)

→ X線スペクトル変調 (Sano+15; Tanaka+20) + 熱的X線抑制 (Inoue+12)

→ 月/年単位で強度変動するX線hot spot (Uchiyama+07; Higurashi+20)

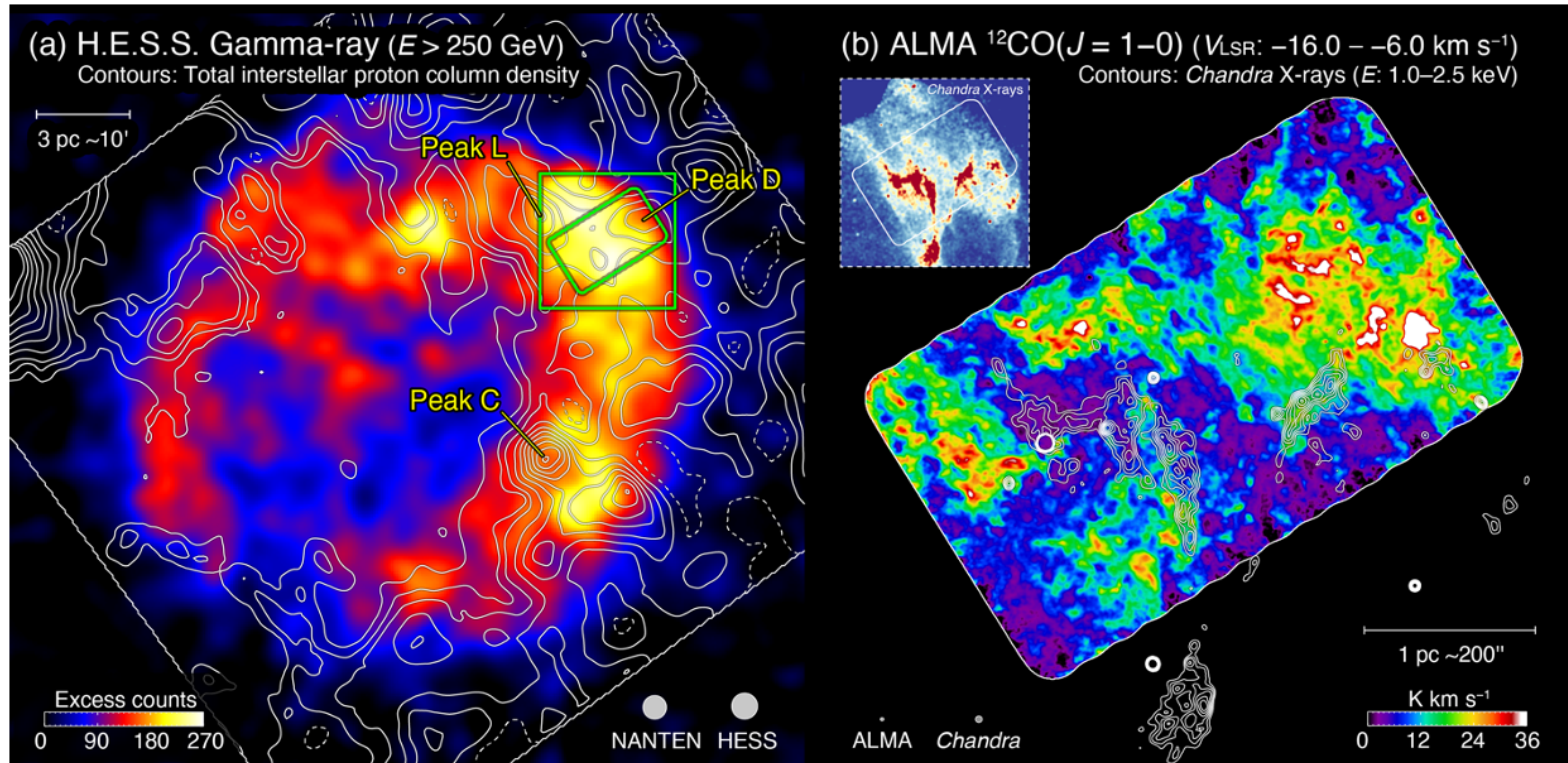
ALMA 電波干渉計を用いたCO輝線観測



Project# (Cycle / PI)	2017.1.01406.S (Cycle 5 / H.Sano)
Target line	^{12}CO ($J = 1-0$)
Observed area	$11.1' \times 6.4'$ (mosaic mode)
Antennas	12-m array + ACA (7-m array + TP)
Observing time	5.3 hrs (12-m) + 45.3 hrs (ACA)
Baseline ($u-v$ dist.)	8.9–313.7 m (3.4–120.6 $k\lambda$)
Beam size	4.37" × 3.89" (~ 0.02 pc)
RMS noise level	~ 0.13 K @ 0.4 km s $^{-1}$

ALMA 12m + ACA による RX J1713.7–3946 北西部の観測

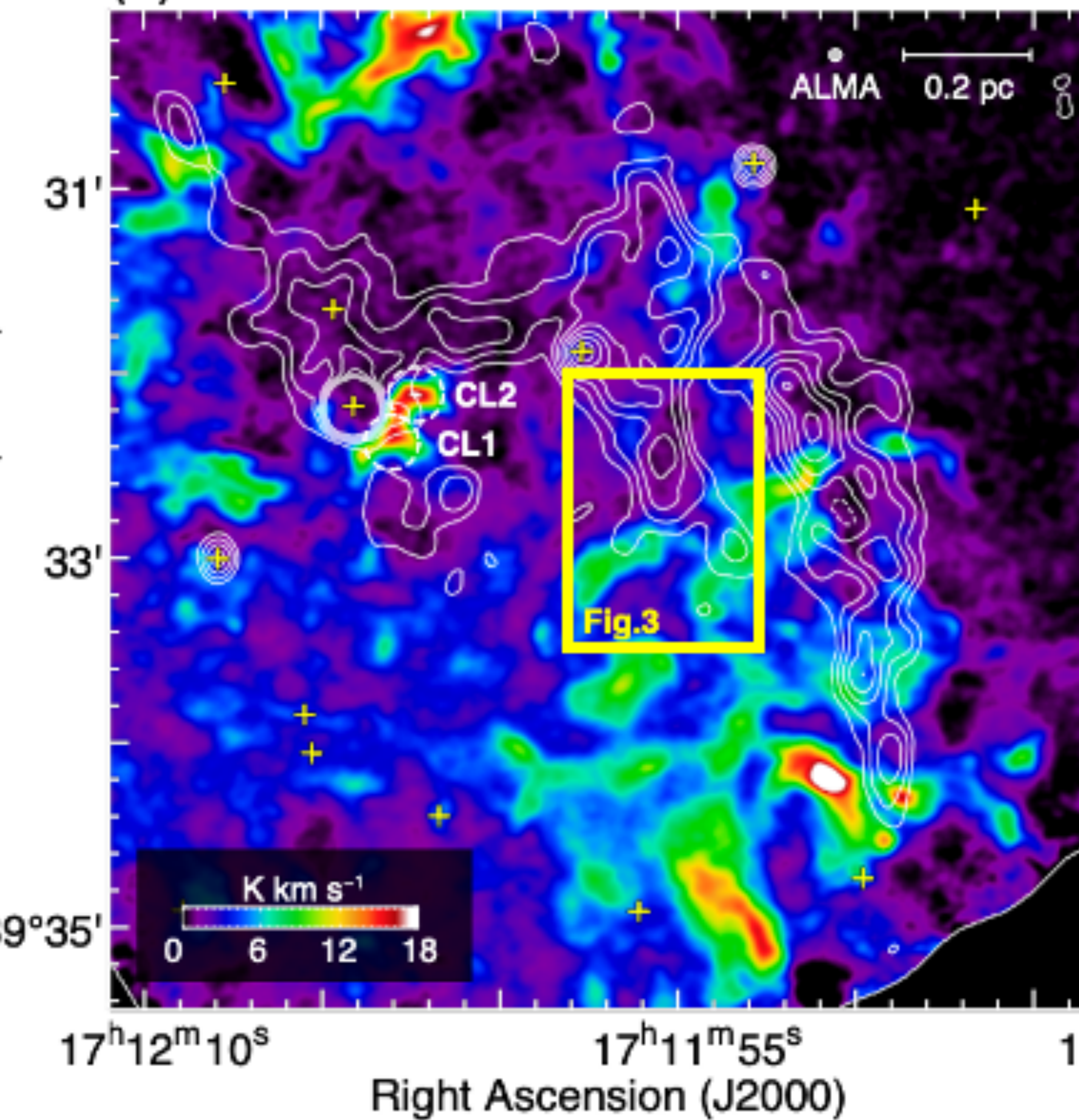
4



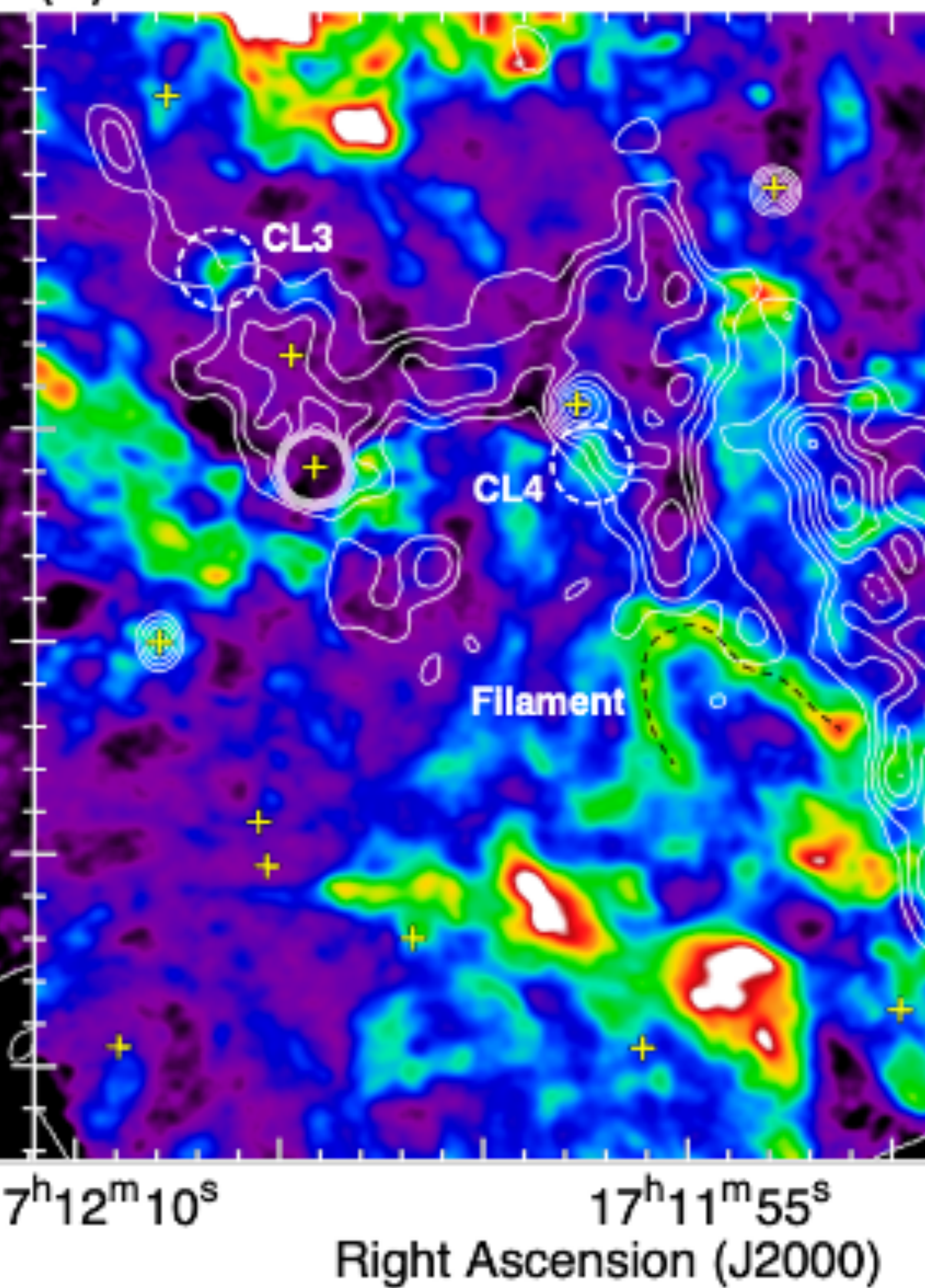
恒星風圧縮起源の cloudlets とフィラメント状分子雲

(a) $-16.0 - -14.0 \text{ km s}^{-1}$

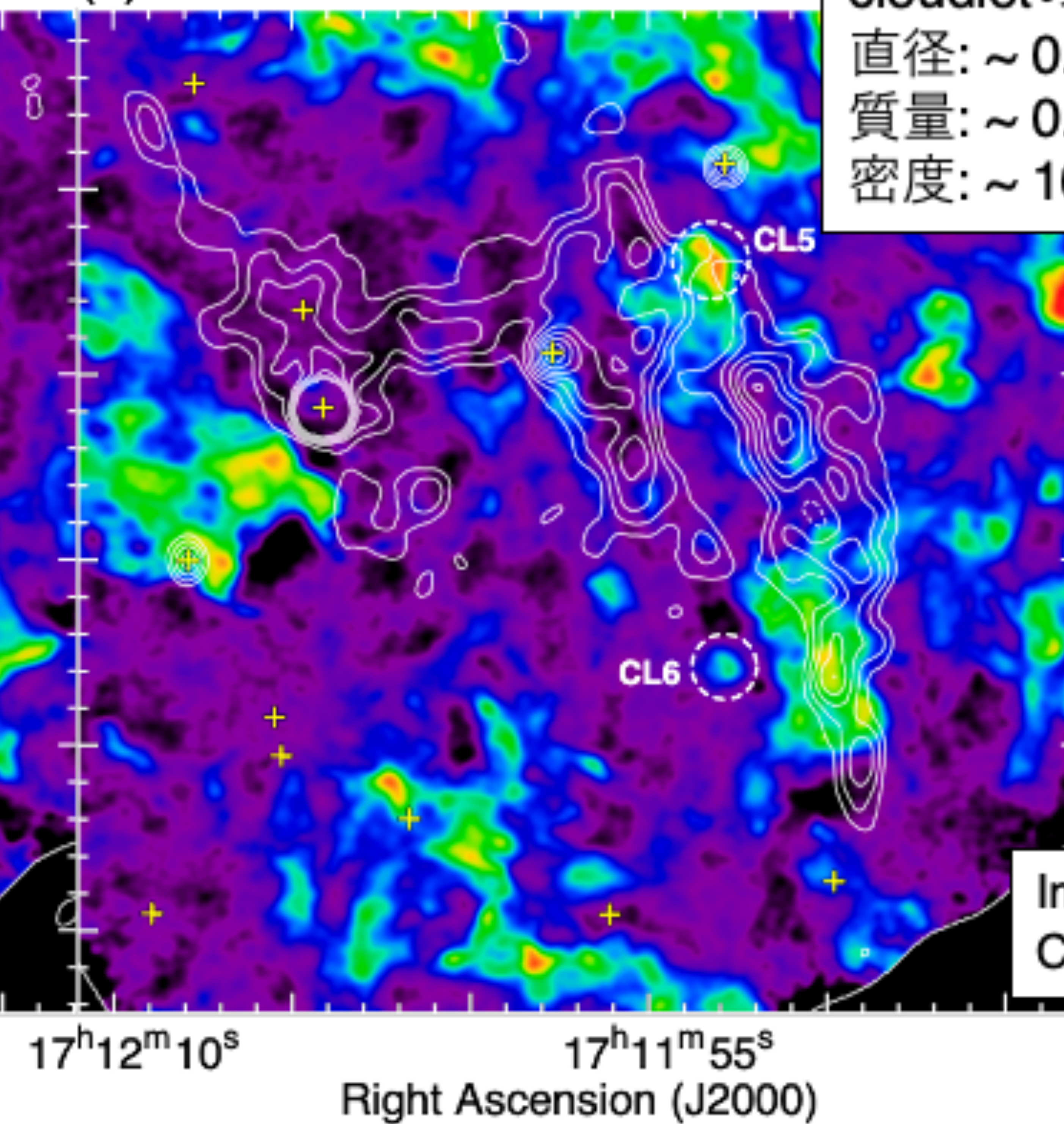
Declination (J2000)



(b) $-14.0 - -12.0 \text{ km s}^{-1}$



(c) $-12.0 - -10.0 \text{ km s}^{-1}$



cloudletの物理量 (典型値)

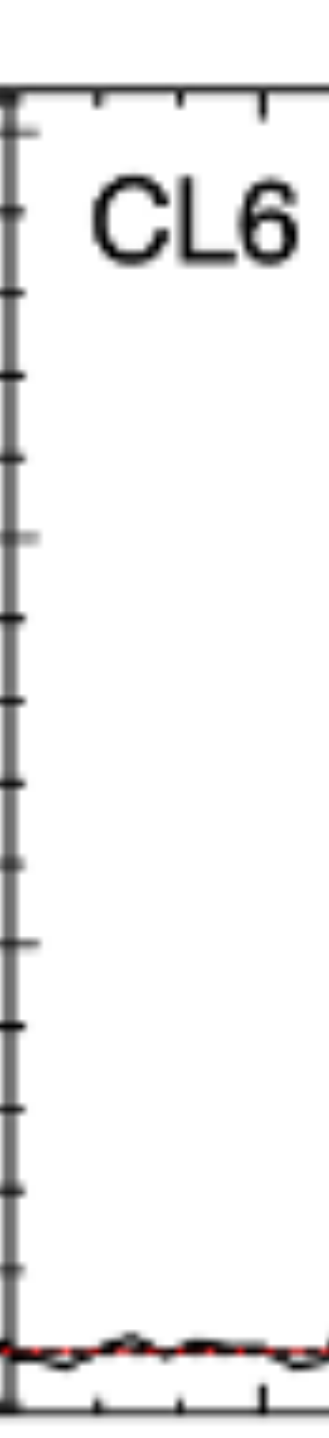
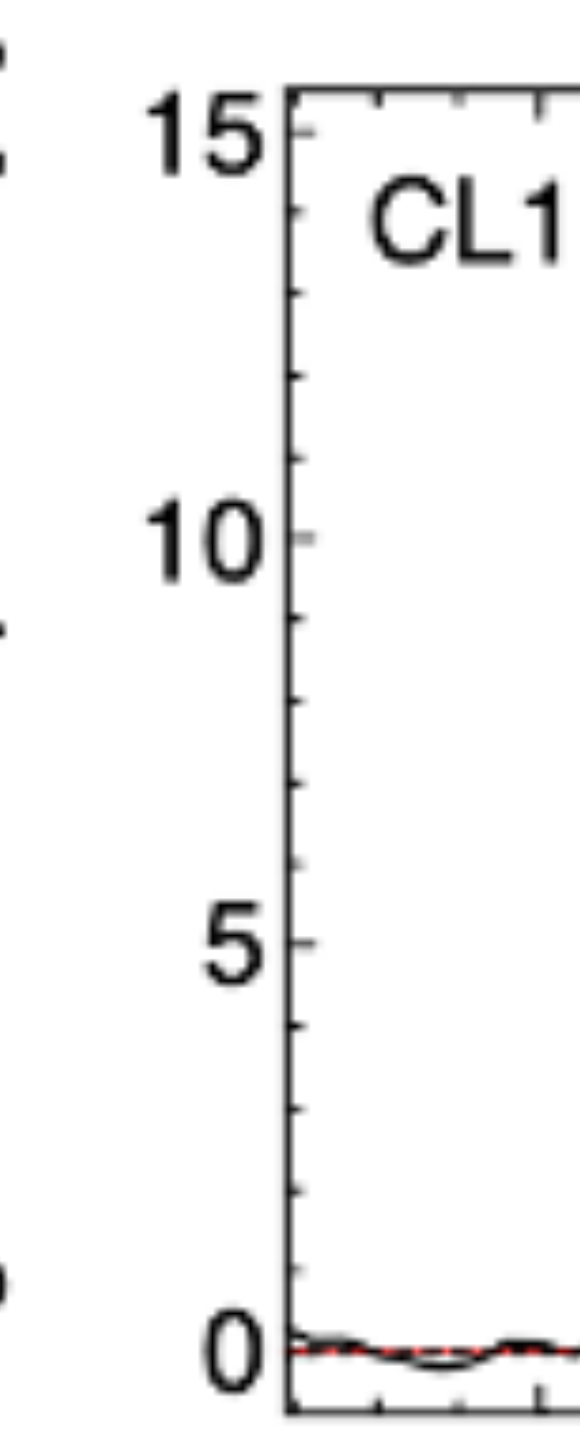
直径: $\sim 0.06 - 0.10 \text{ pc}$

質量: $\sim 0.1 - 0.5 M_{\odot}$

密度: $\sim 10^4 \text{ cm}^{-3}$

Image: ALMA CO
Contours: X-ray

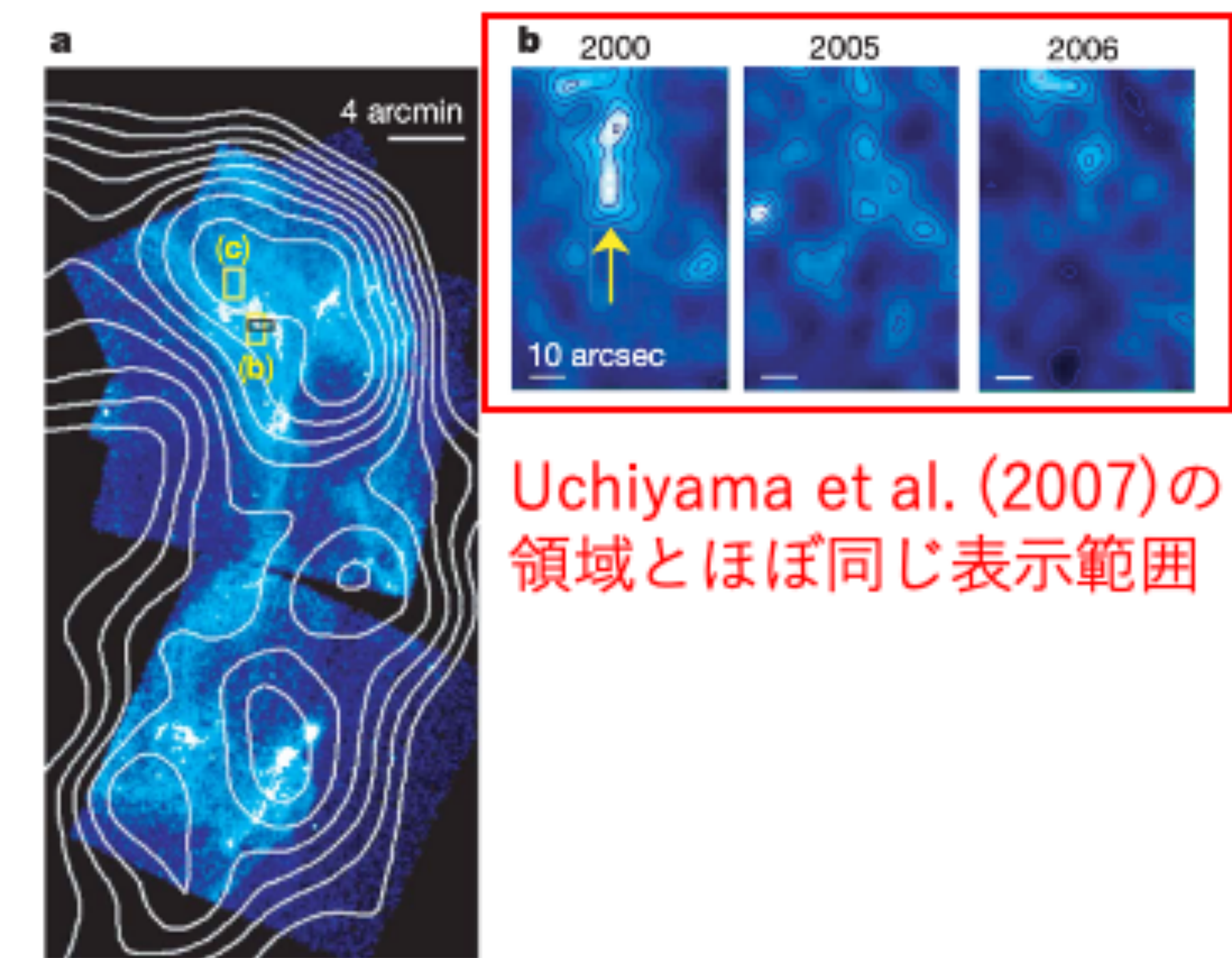
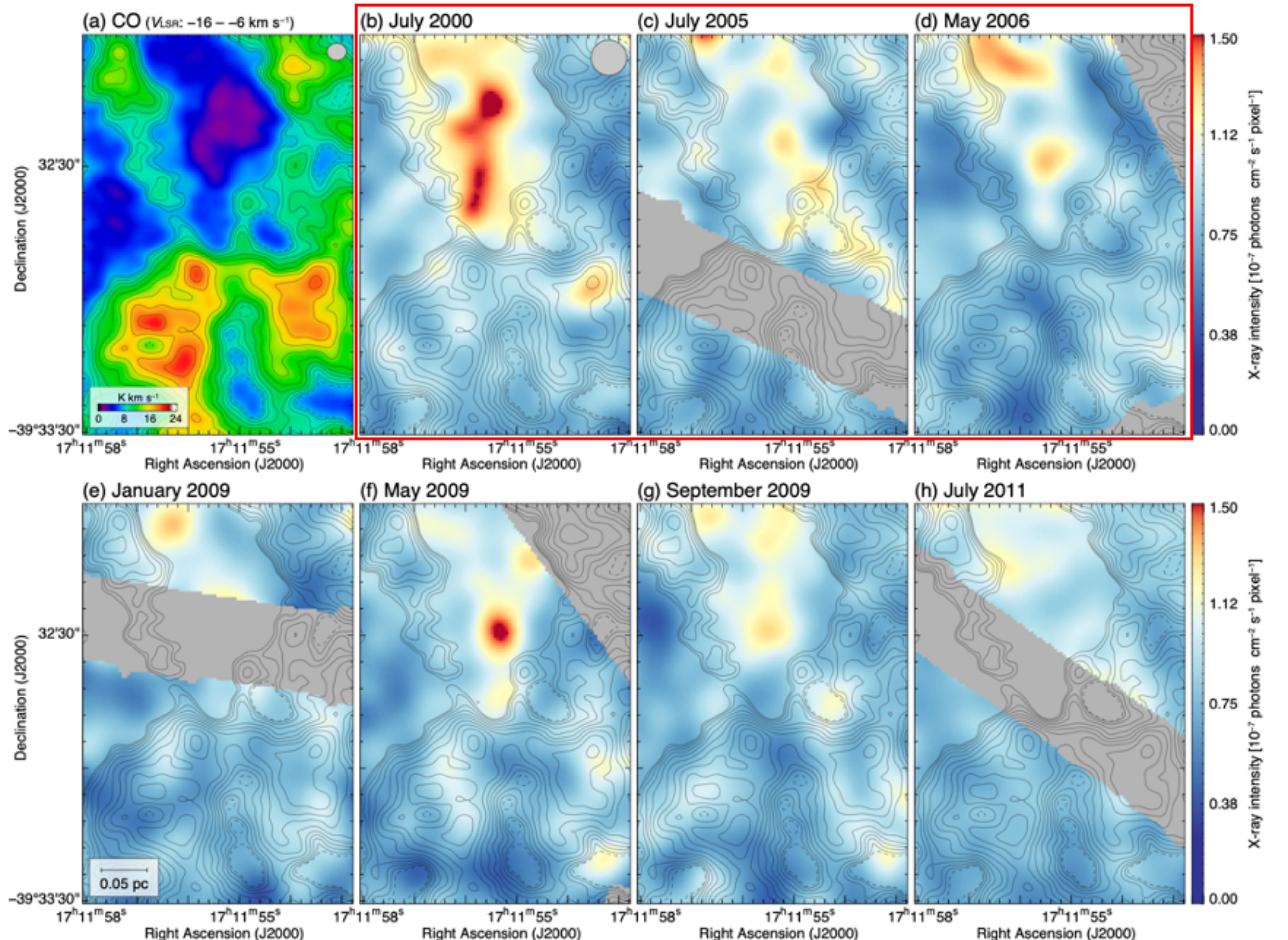
Brightness Temperature [K]



Typical CO spectra
toward CL1–6

V_{LSR} [km s $^{-1}$]

エックス線 hotspot との比較



Uchiyama et al. (2007)の領域とほぼ同じ表示範囲

- May09 に新たなhotspot (~4 σ)
- 磁場強度は ~0.3–3 mG
(加速時間 < 3年, 冷却時間 < 4ヶ月)
- Cloudlet とX線 hotspot の距離:
~0.05–0.15 pc

Image: (a) ALMA CO (V_{LSR} : -16–6 km s $^{-1}$)
(b–h) *Chandra* X-rays (2–7 keV)
Contours: ALMA CO (V_{LSR} : -16–6 km s $^{-1}$)

議論1: shock-cloudlet interaction による磁場増幅

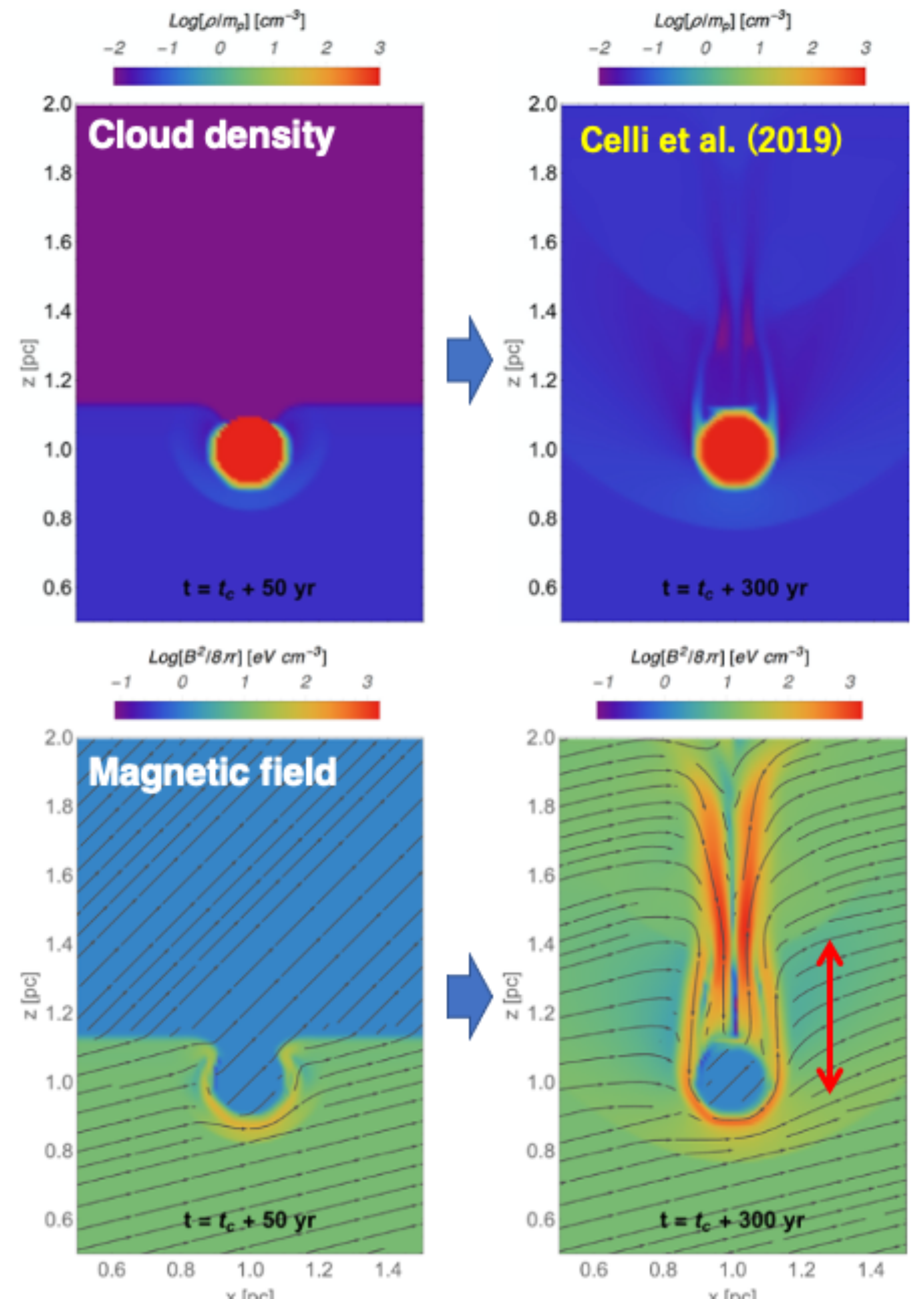
- Cloudlets 周辺でのX線増光および X線 hotspot の存在は、衝撃波相互作用による磁場増幅で理解できる
→ Celli et al. (2019) による数値計算との比較が有効

	Celli+2019	This study
分子雲の直径 [pc]	0.2	~0.06–0.10
分子雲の密度 [cm^{-3}]	10^3	~ 10^4
分子雲間領域の密度 [cm^{-3}]	0.01	~0.1 ^{※1}
ISM 密度コントラスト	10^5	~ 10^5
磁場 / X線の増光	主に分子雲周辺	分子雲周辺
分子雲–最大磁場間の距離 [pc]	~0.4	-----
分子雲–X線hotspotの距離 [pc]	-----	~0.05–0.15

Celli+2019 の分子雲直径を 0.06–0.10 pc に焼きなおすと、分子雲–最大磁場間の距離 0.12–0.20 pc となり観測結果と良く一致

■ Future prospects

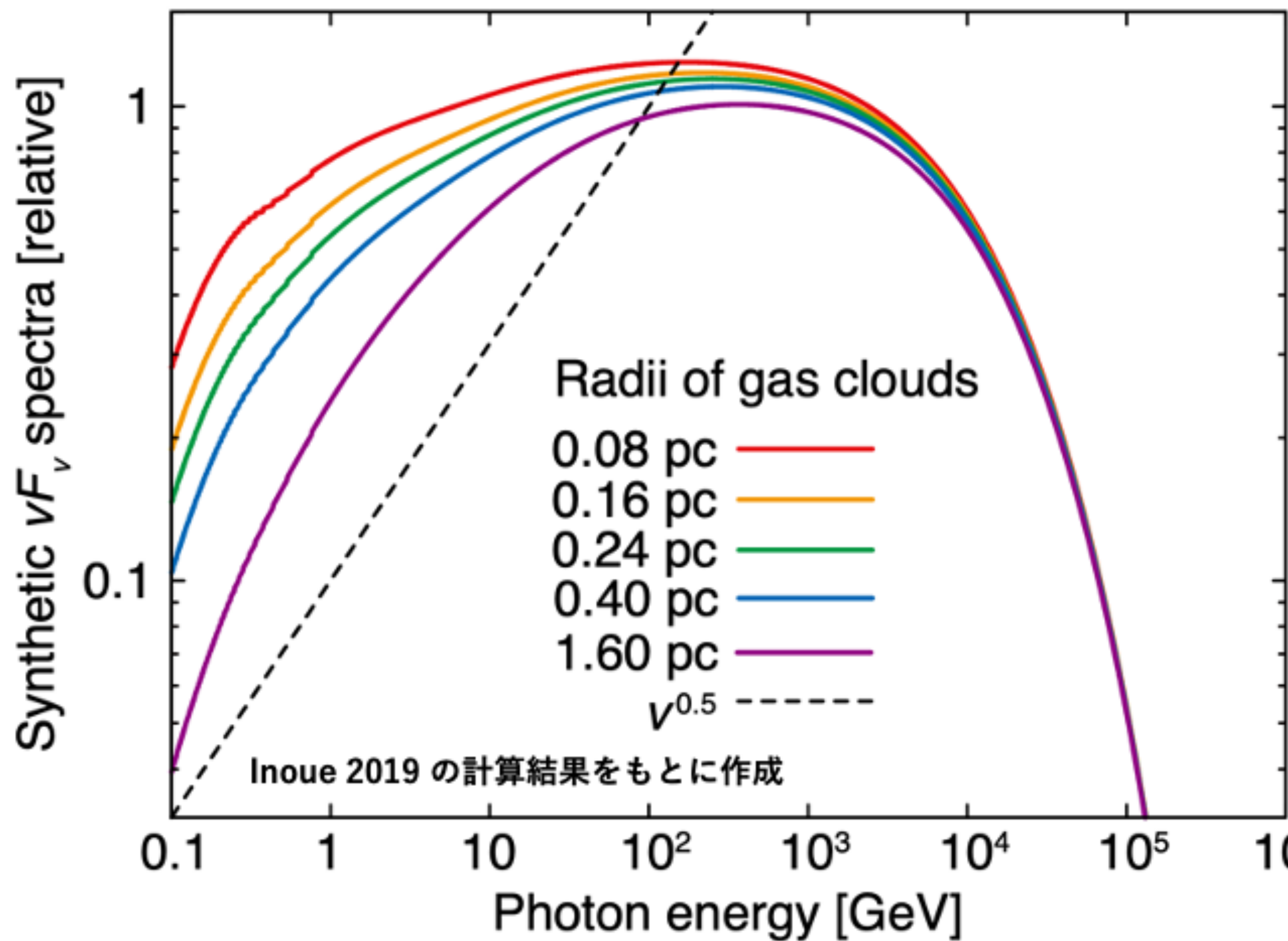
cloudlets 空間分布に沿ってX線スペクトル解析を行うことで spectral modulation がより顕著に見えるはずでは？



$$l_{\text{pd}} \simeq (\kappa_d t)^{1/2} = 0.1 \eta^{1/2} \left(\frac{E}{10 \text{ TeV}} \right)^{1/2} \left(\frac{B}{100 \mu\text{G}} \right)^{-1/2} \left(\frac{t_{\text{age}}}{10^3 \text{ yr}} \right)^{1/2} \text{ pc},$$

Inoue et al. (2012)

I_{pd} : penetration depth,
 η : gyro factor,
 E : CR proton energy,
 B : magnetic field,
 t_{age} : SNR age



RXJ1713 北西領域では、他の領域（例えば peak C）よりもフラットな νF_ν スペクトルが期待できる

* RXJ1713に付随する分子雲の典型的な半径
~1–2 pc (Moriguchi et al. 2005)
特に peak C は高度に中心集中 & 内部構造無し

* RXJ1713 NW の cloudlets の半径
~0.03–0.05 pc (this study)

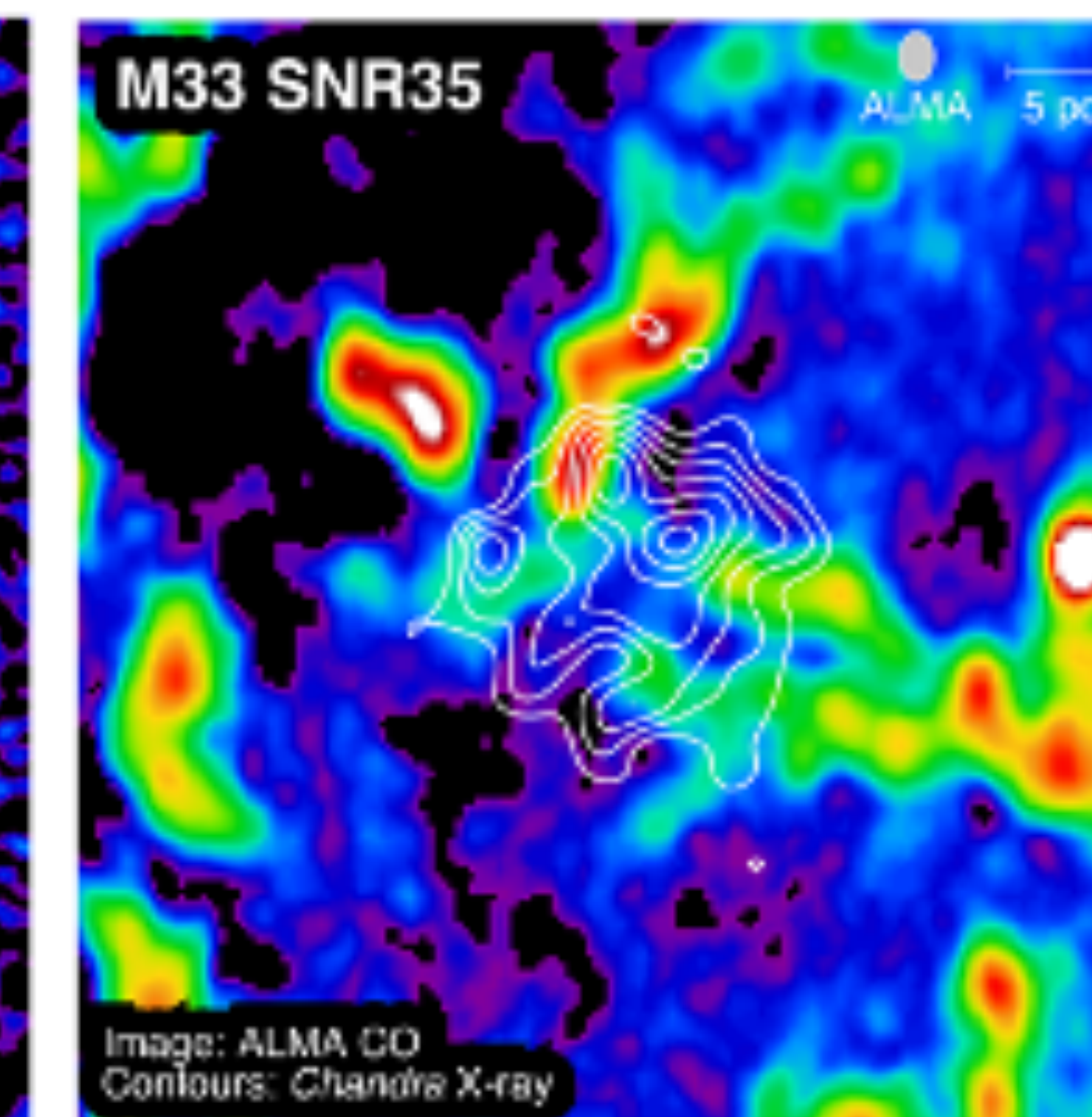
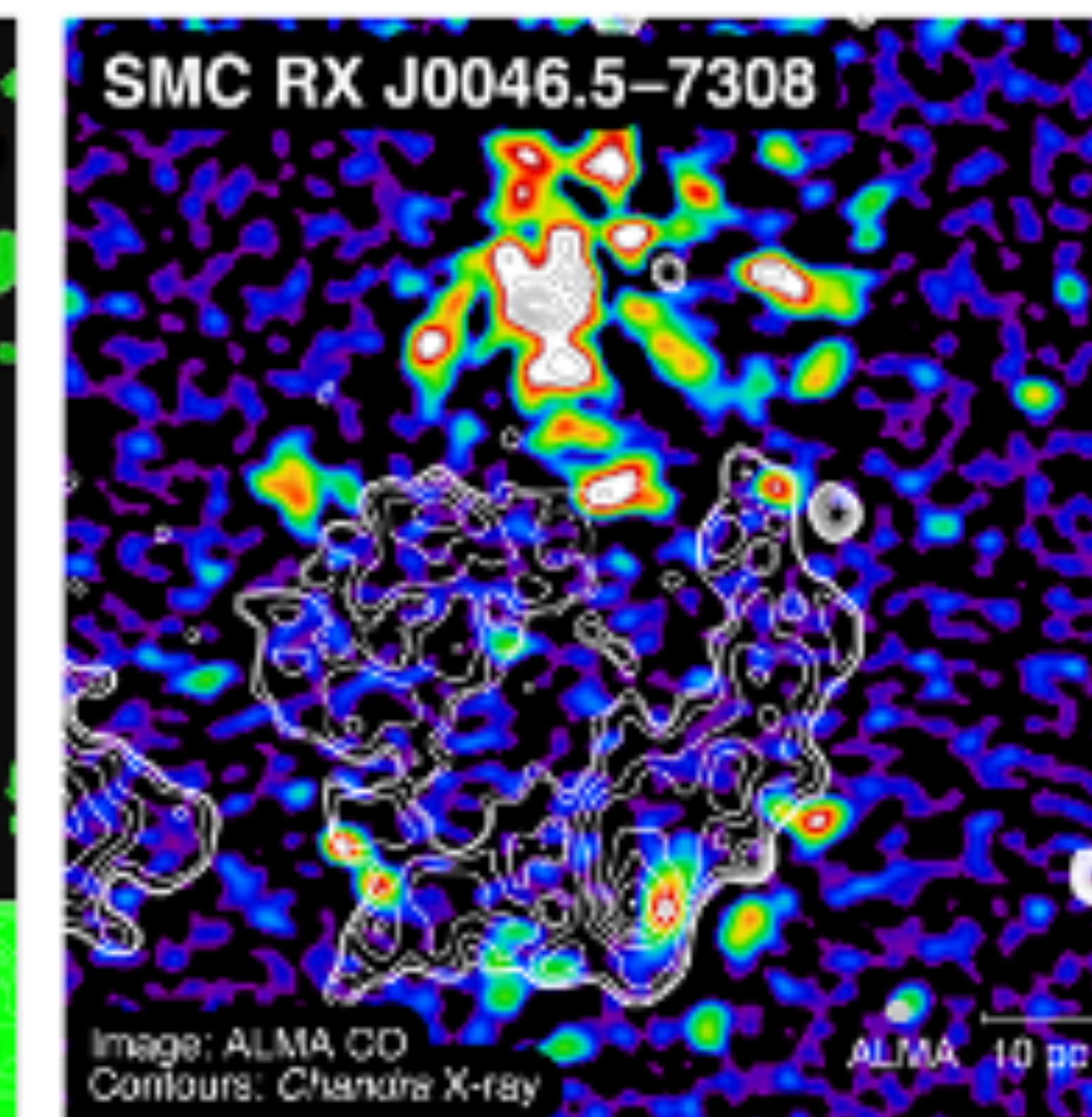
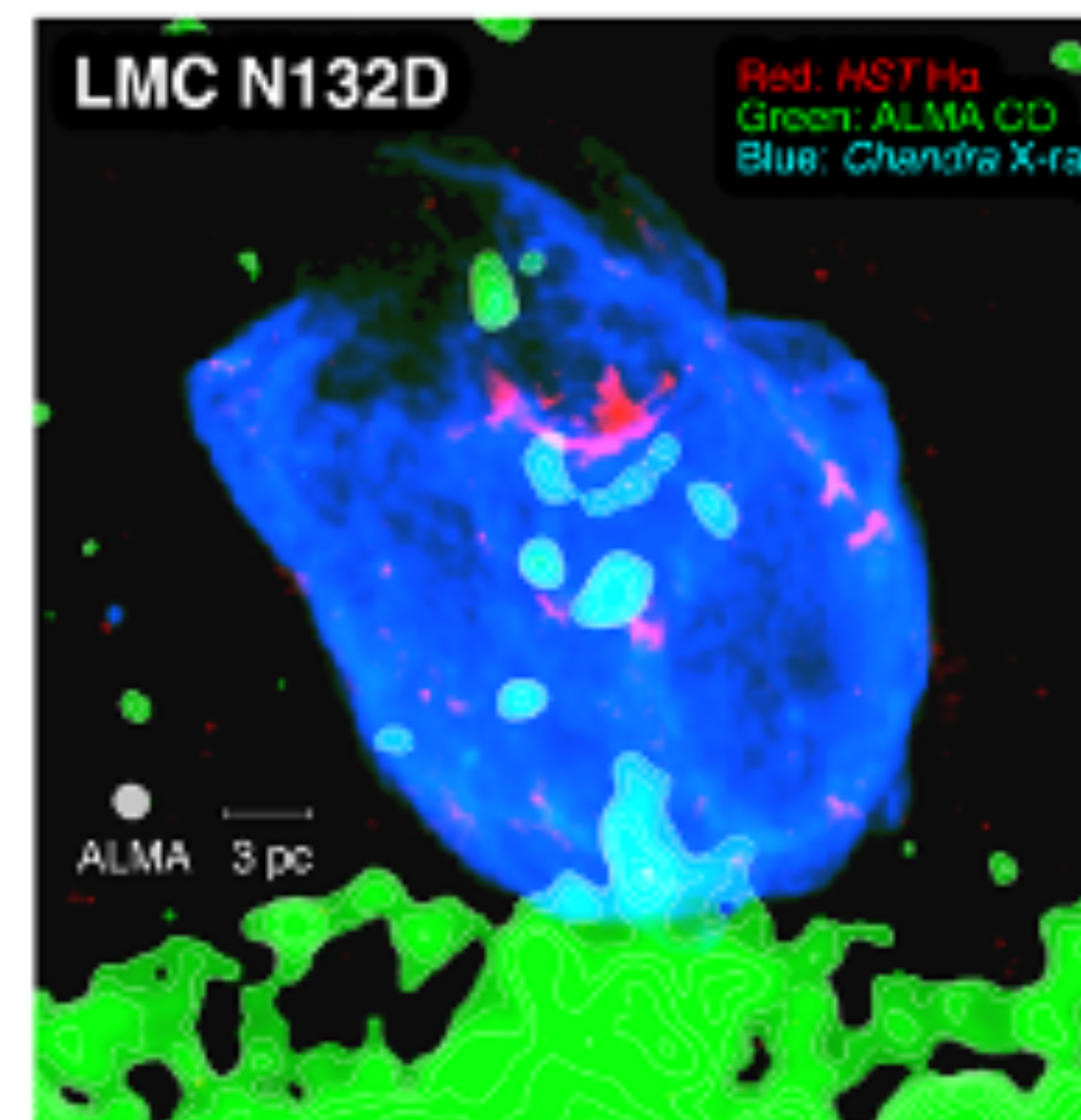
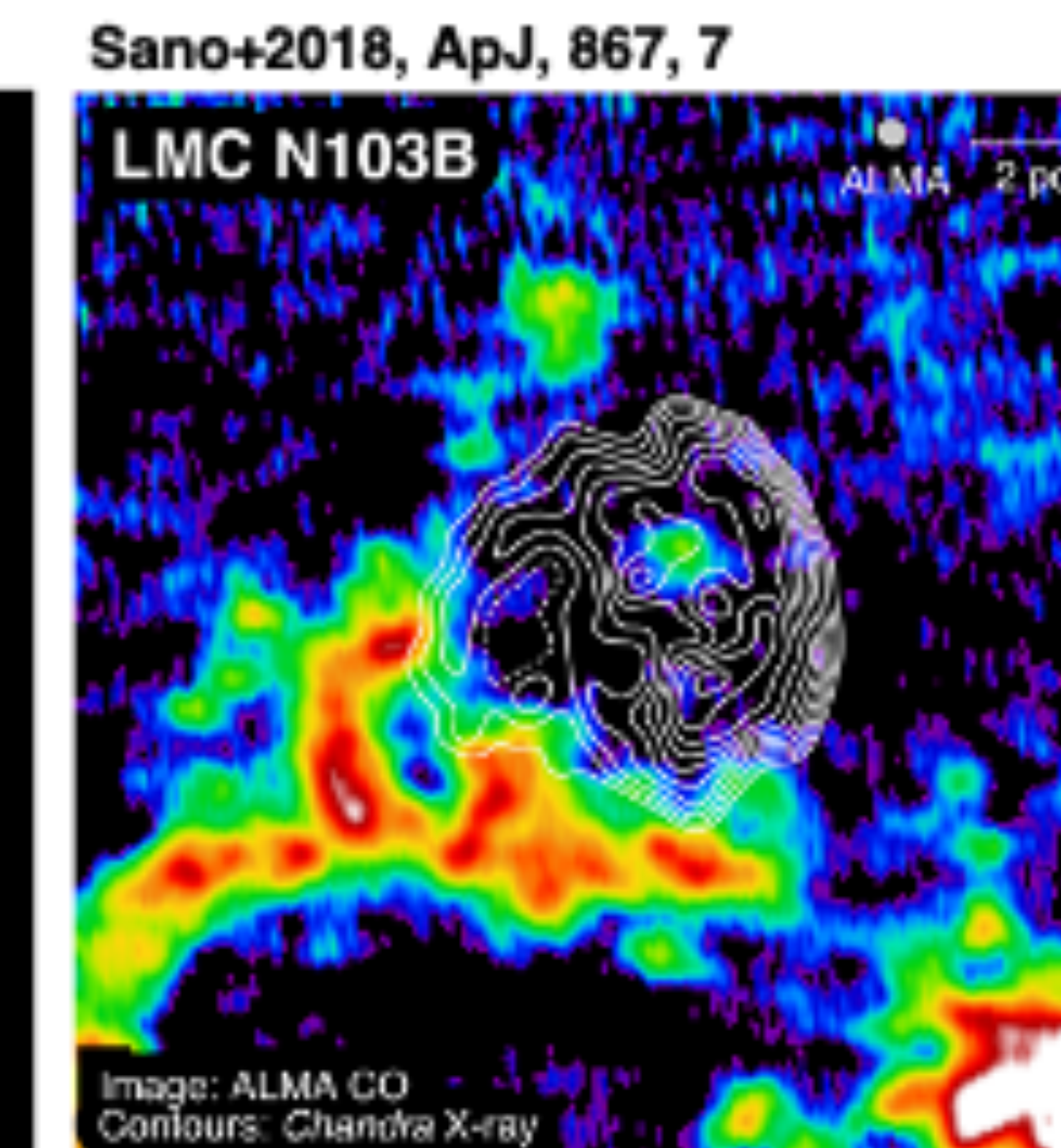
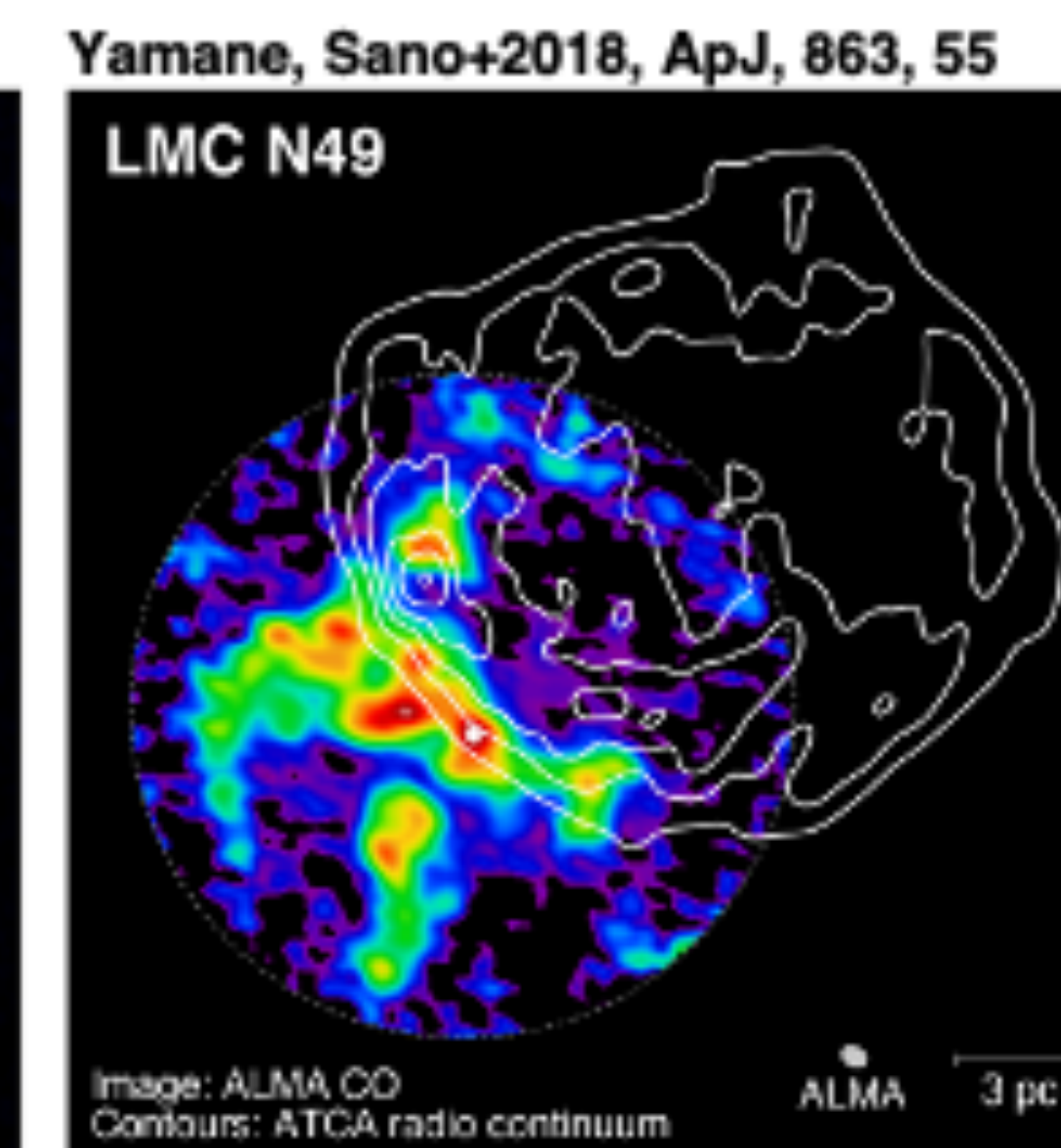
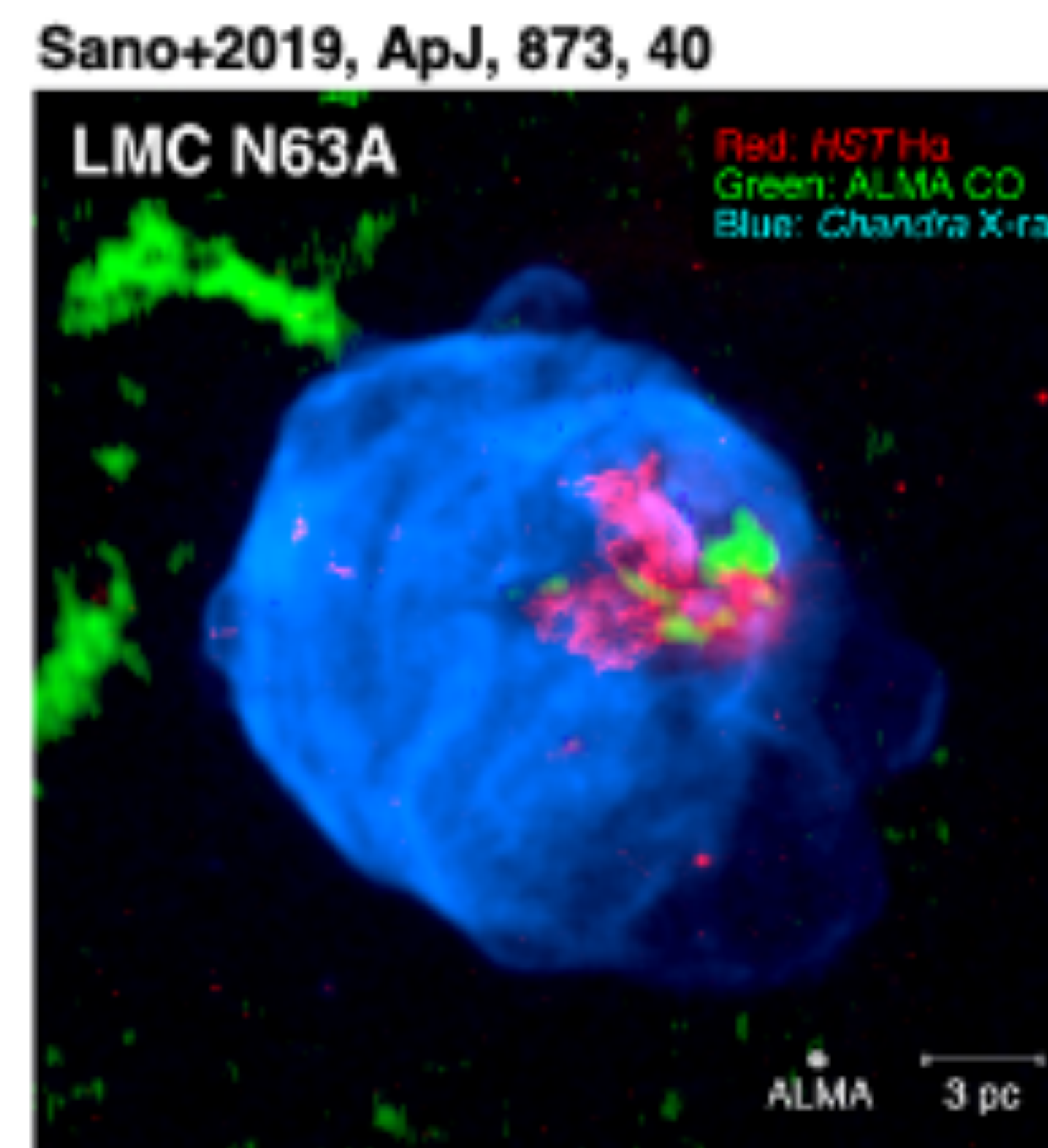
今後のCTAによる高空間分解能/高感度観測に期待

今後の展望①：電波干渉計を用いた超新星残骸研究の促進

9

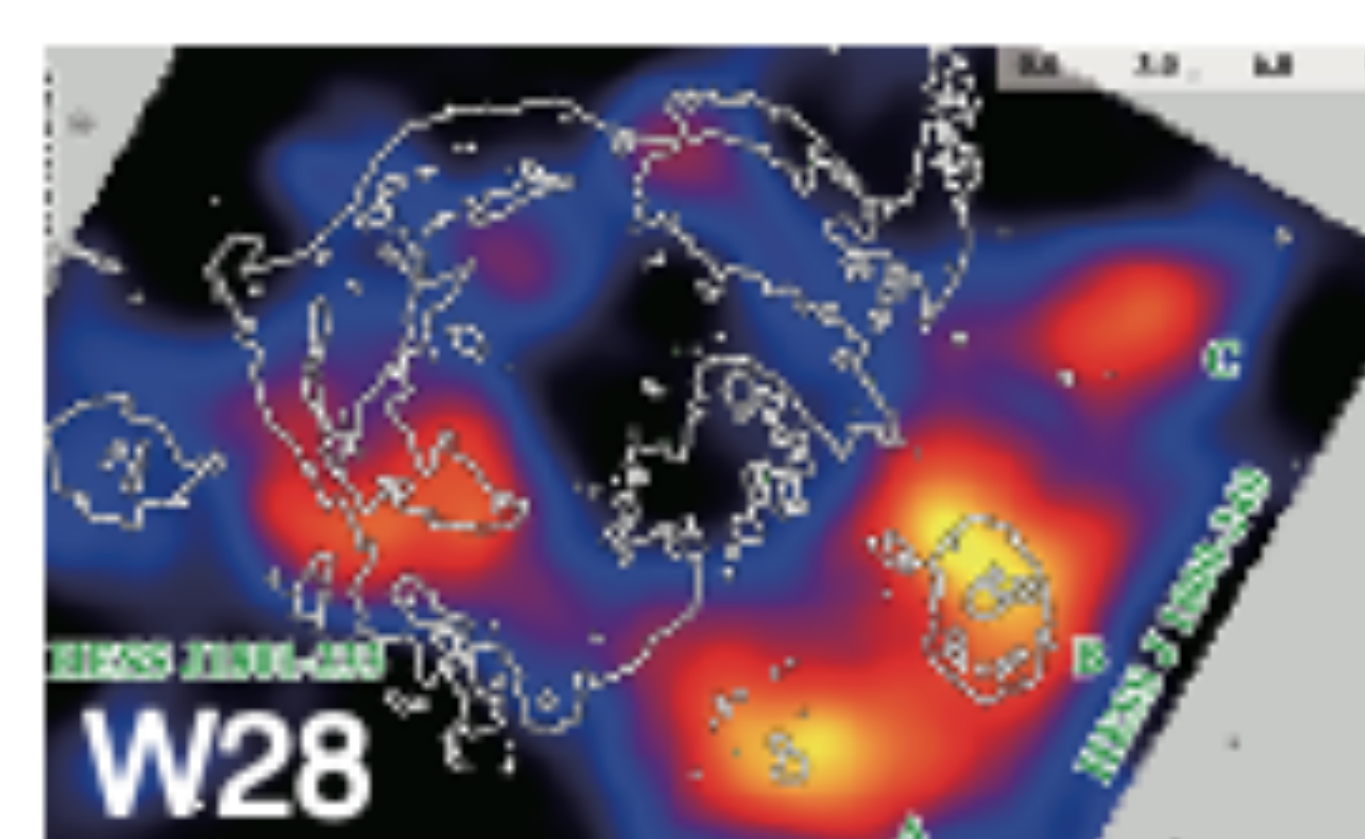
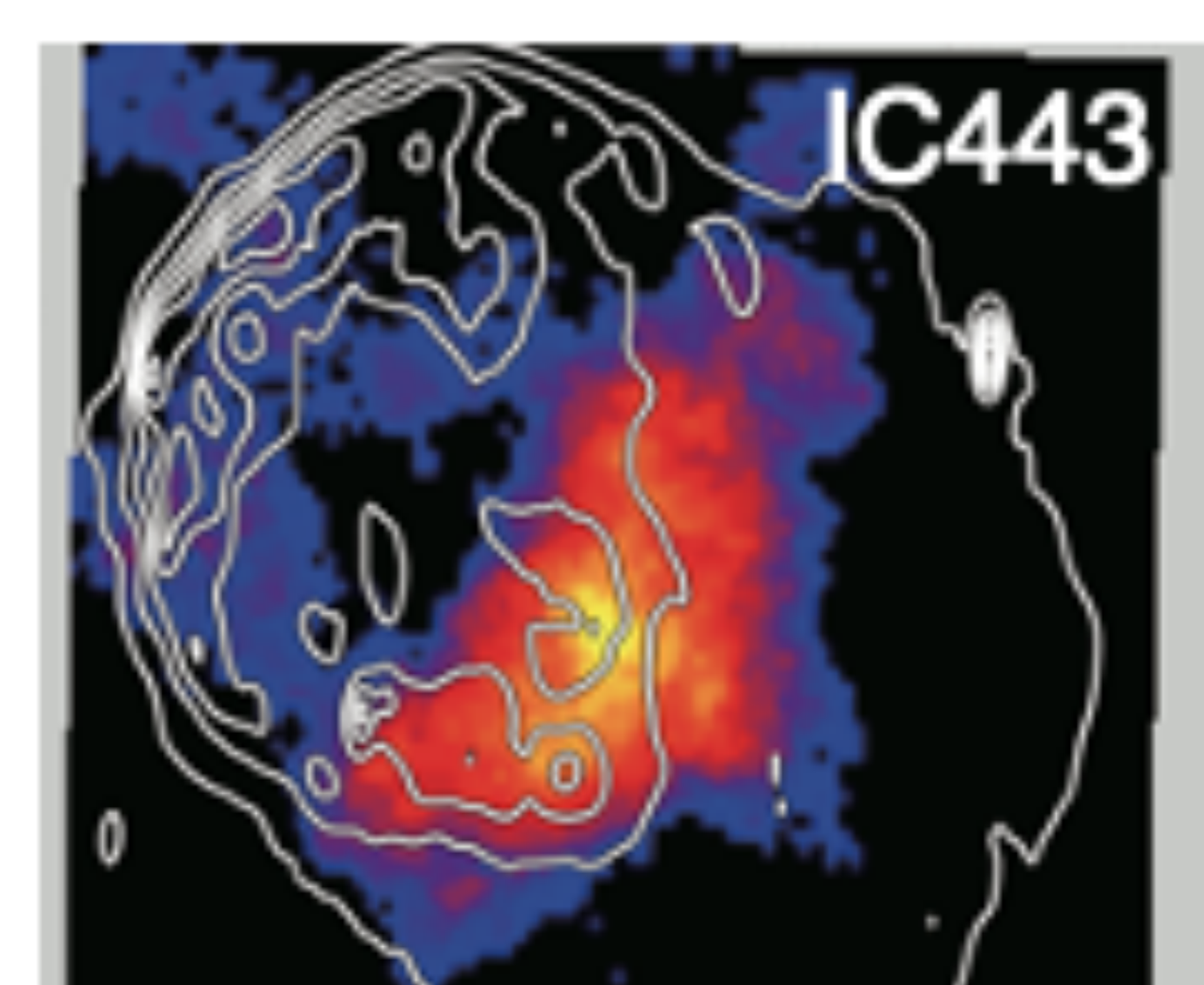
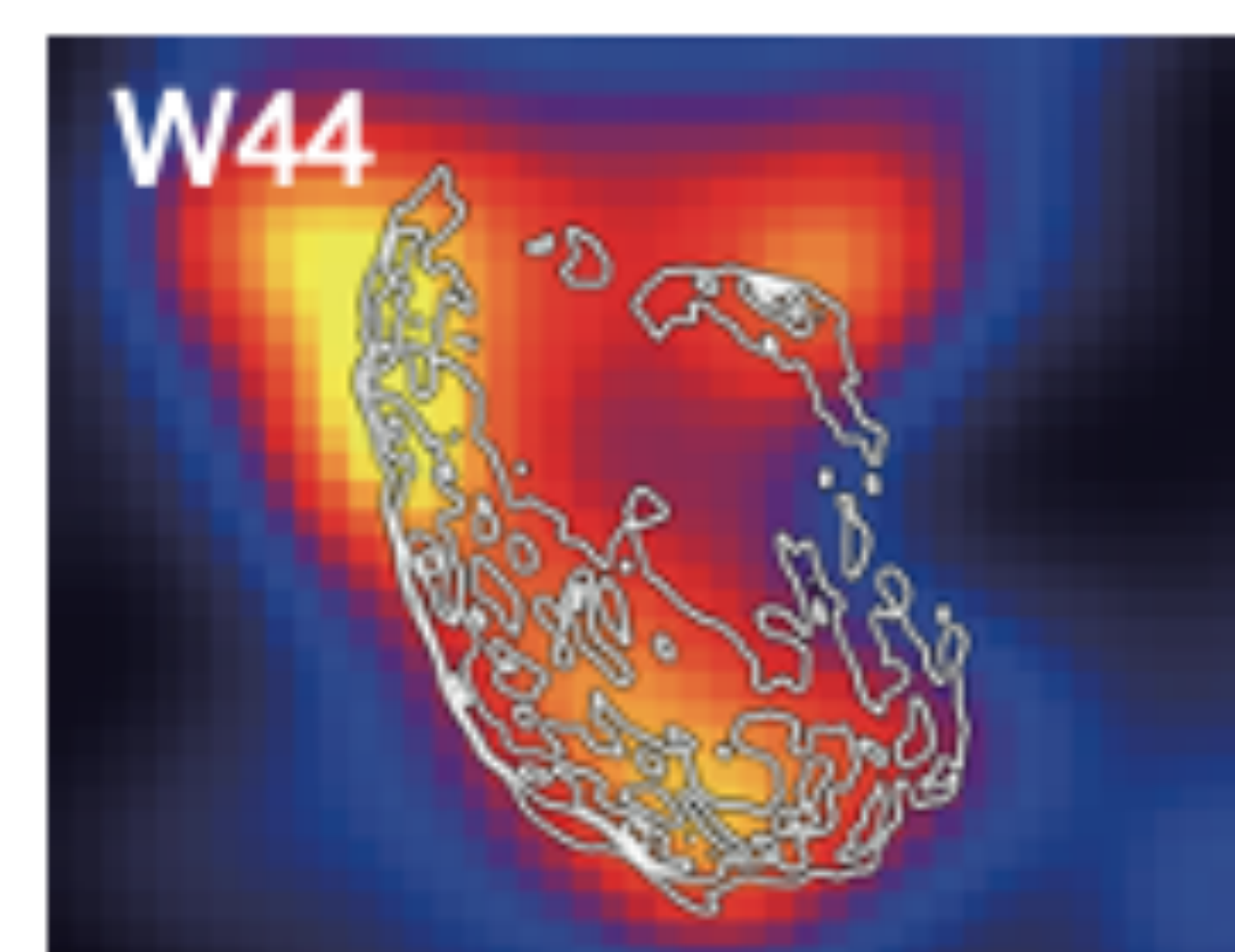
超新星残骸に付随する淡く広がった and/or 小さな粒状分子雲を電波干渉計で捉える
ALMA 電波干渉計による銀河系内/近傍銀河の超新星残骸観測を推進中

LMC/SMC/M33の超新星残骸



銀河系内の超新星残骸

Image: W49B ALMA CO (preliminary)
Contours: Chandra X-rays



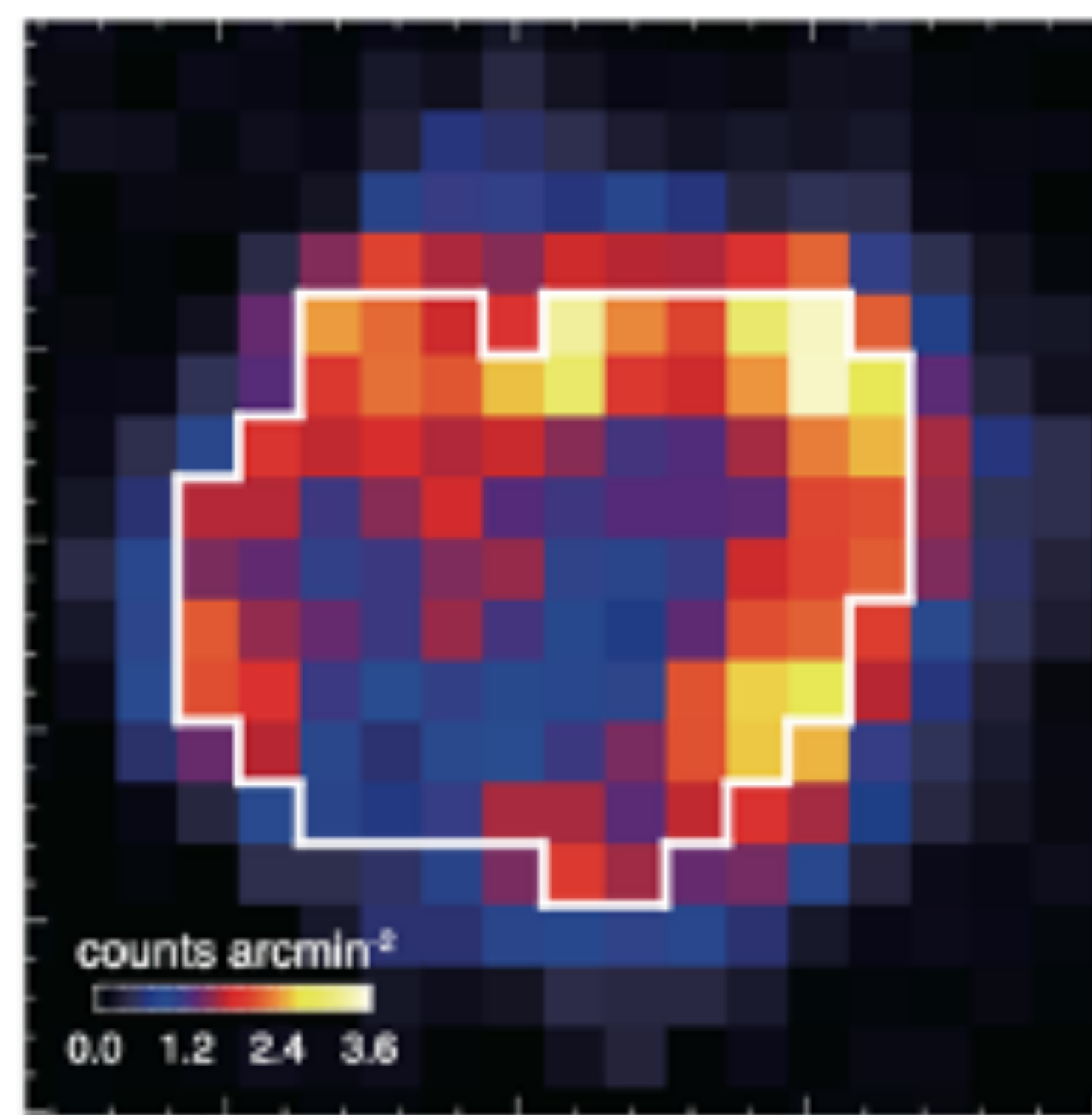
ALMA 観測提案受理済 & 観測進行中

Sano+2021 to be submitted to ApJ

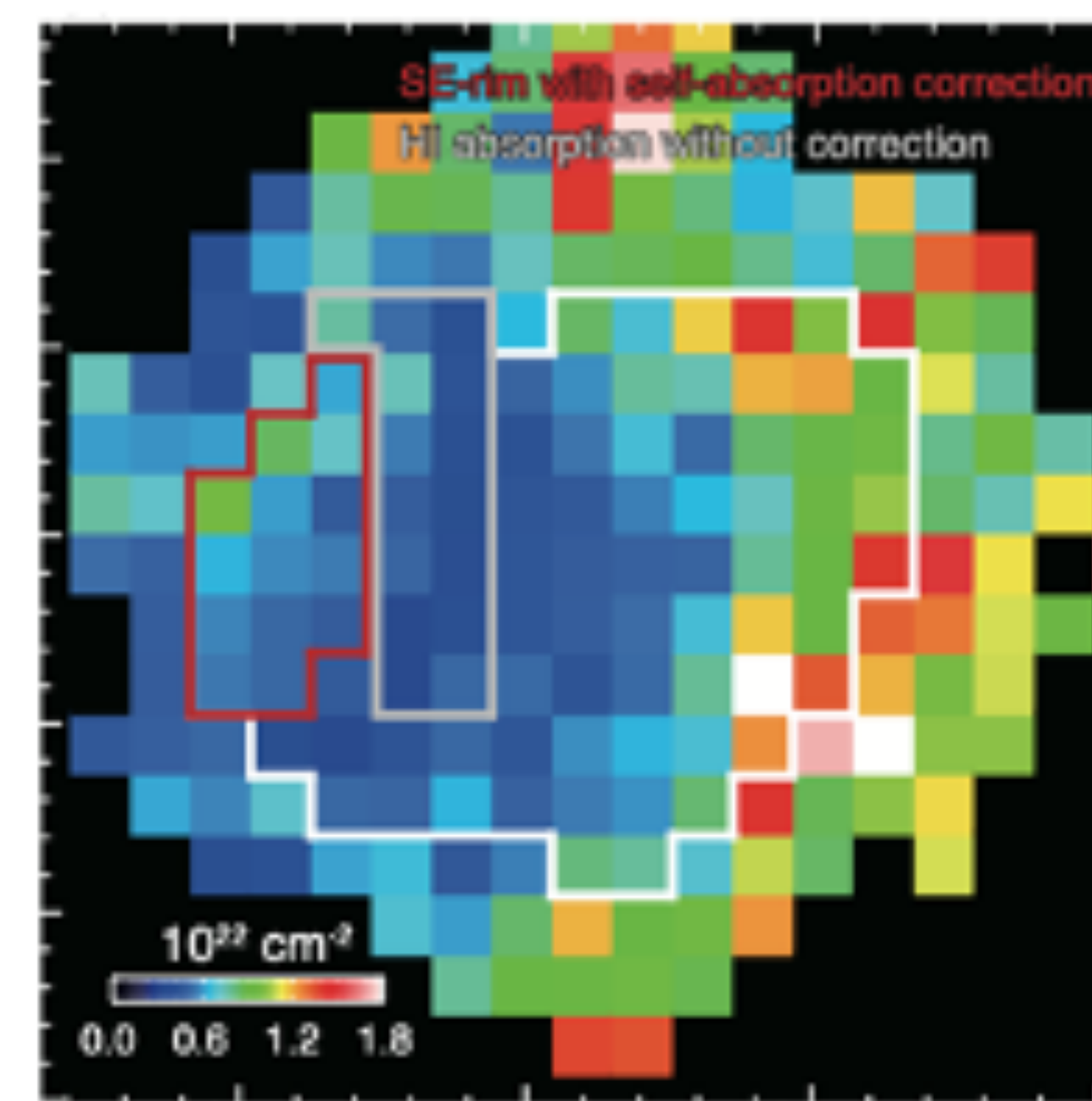
今後の展望②：陽子/電子起源ガンマ線を切り分ける (Fukui et al., in prep.)

ガンマ線を ISM(全星間陽子) とX線の和として表現

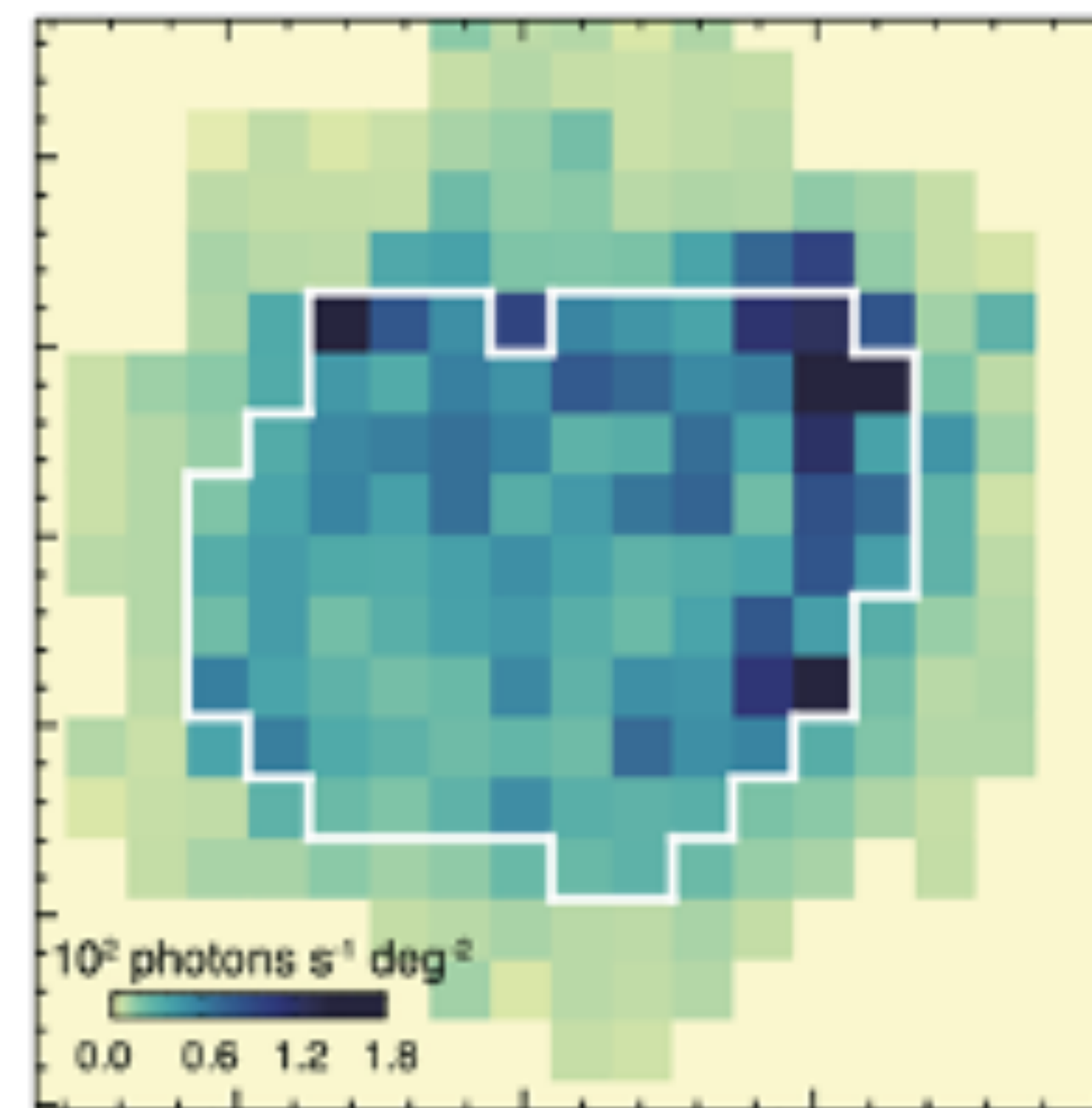
$$N_g = aN_p + bN_x$$



ガンマ線 (H.E.S.S. Col. 2018)



全星間陽子 (Fukui et al. 2012)

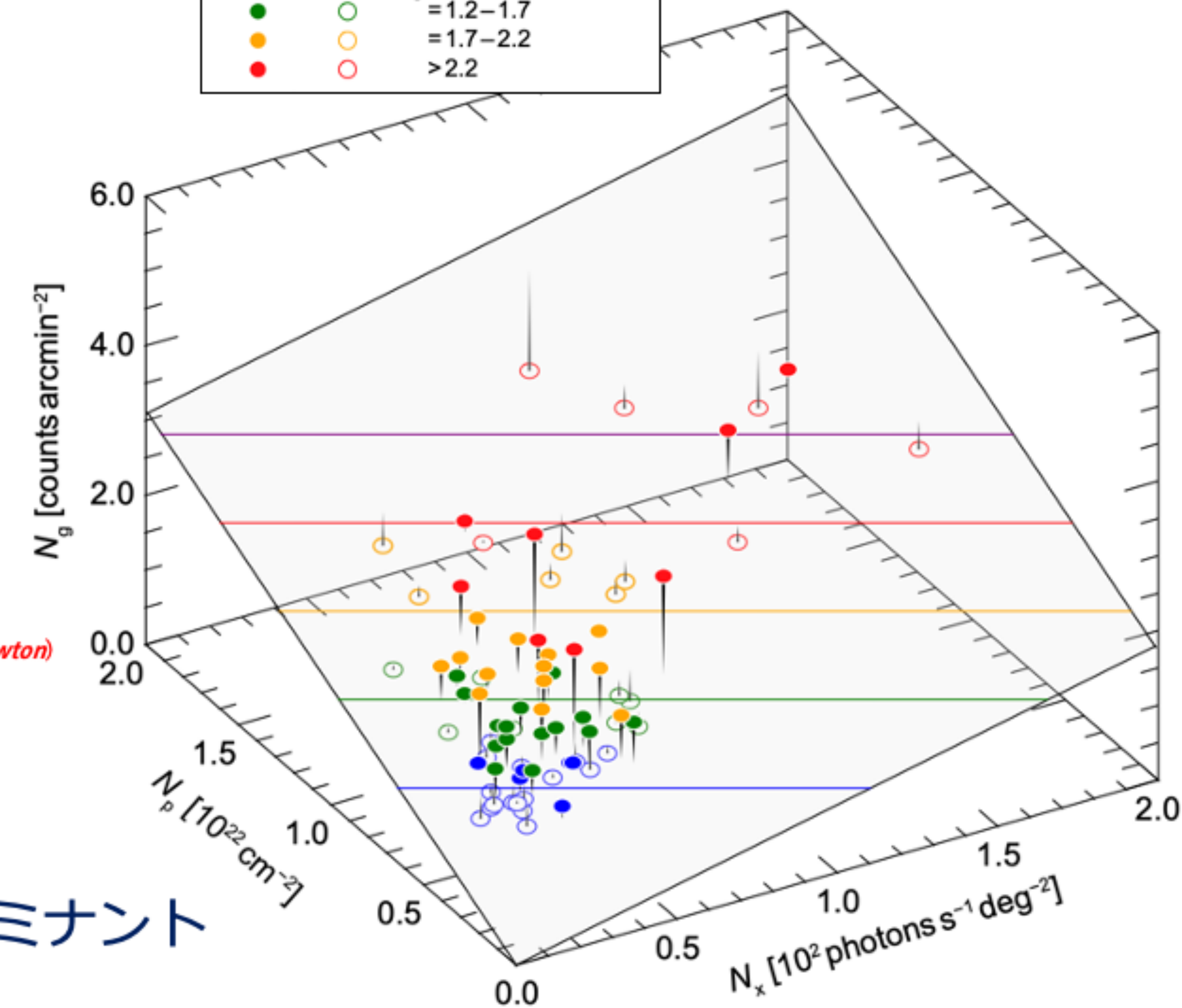
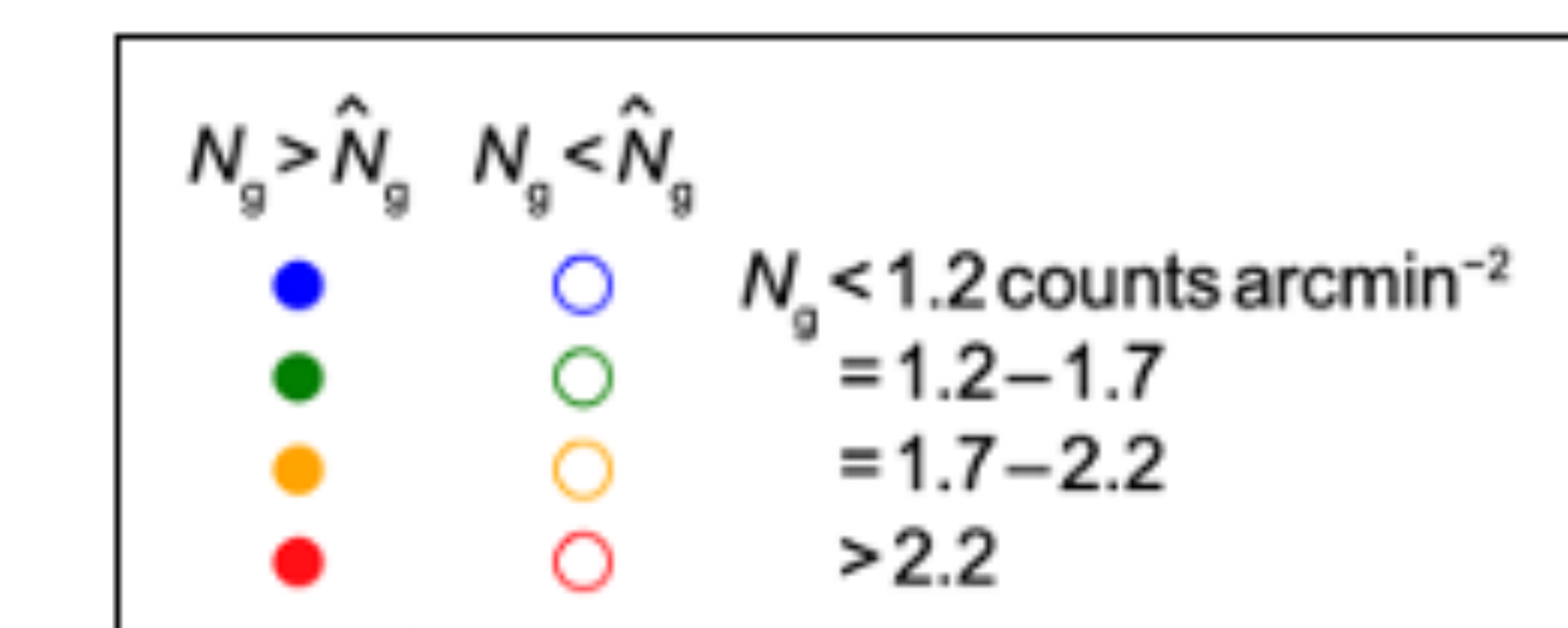


シンクロトロンX線 (XMM-Newton)

$$\hat{N}_g = (1.57 \pm 0.14) \times N_p + (0.91 \pm 0.19) \times N_x$$

陽子起源ガンマ線: $67 \pm 6\%$
電子起源ガンマ線: $27 \pm 6\%$

陽子起源がドミナント





web URL



- 現実的な非一様星間媒質中（密度差~ 10^5 ）における粒子加速
→ 電波輝線観測による星間雲の精密定量の必要性

- RX J1713.7–3946 北西部における ALMA CO 観測 (Sano et al. 2020c, ApJL, 904, 24)
 - 恒星風バブル内に位置する数十の分子雲塊（直径~0.01 pc, 密度~ 10^4 cm^{-3} ）
 - 衝撃波相互作用によるガス塊周辺での磁場増幅（数値計算とも無矛盾）
 - clouddlets が多い領域ではガンマ線 $\nu F\nu$ スペクトルがフラットになる可能性
- ALMA 電波干渉計を用いた銀河系/系外銀河の超新星残骸研究
→ LMC/SMC/M33に加え、W49B/W44/W28/IC443などの系内天体も観測中
- ガンマ線放射を ISM + X線で記述する (Fukui et al. in prep.)
→ ガンマ線/ISM/X線空間分布の 3D fitting によってガンマ線の起源を探究